

BOZF0221 Základy fyzikálně optických měření 1

návody k úlohám

kolektiv autorů

Ústav fyziky kondenzovaných látek

Brno, 2020

Obsah

Statistické zpracování měření	3
1. Měření odporu	5
Úkoly	8
2. Měření vrcholové lámavosti čoček	9
Úkoly	12
3. Měření polarizační schopnosti polaroidu a ověření Malusova zákona pro reálné polaroidy	13
Úkoly	16
4. Měření parametrů mikroskopu	17
Úkoly	20
5. Stanovení indexu lomu hranolu metodou minimální deviace	21
Úkoly	23
6. Závislost stáčení polarizační roviny roztoku na koncentraci	24
Úkoly	26
7. Měření světla odraženého na povrchu dielektrika	27
Úkoly	30
8. Měření ohniskové vzdálenosti tenkých čoček	31
Úkoly	34
9. Měření indexu lomu látek refraktometrem	35
Úkoly	38
10. Průchod světla planparalelní deskou a hranolem	39
Úkoly	42

Statistické zpracování měření

Statistický odhad přímo měřené fyzikální veličiny

Předpokládejme, že naměříme sadu N hodnot $\{x_1, x_2, \dots, x_N\}$, pak odhadem střední hodnoty je aritmetický průměr \bar{x}

$$\bar{x} = \frac{1}{N} \sum_{i=1}^N x_i. \quad (1)$$

Směrodatná odchylka s se vypočte podle vztahu

$$s = \sqrt{\frac{1}{N-1} \sum_{i=1}^N (x_i - \bar{x})^2}. \quad (2)$$

Odhad nejistoty na hladině spolehlivosti P je

$$\Delta = t_{P, N-1} \frac{s}{\sqrt{N}}, \quad (3)$$

kde $t_{P, N-1}$ je Studentův koeficient pro hladinu spolehlivosti P a počet stupňů volnosti $\nu = N - 1$. Intervalový odhad, ve kterém leží měřená hodnota s pravděpodobností P , je

$$(\bar{x} \pm \Delta) = \left(\bar{x} \pm t_{P, N-1} \frac{s}{\sqrt{N}} \right). \quad (4)$$

Statistické odhady nepřímo měřené veličiny

Hodnota nepřímo měřené fyzikální veličiny y je dána funkcí jedné či několika přímo měřených veličin; obecně pro funkci n veličin platí $y = f(x_1, x_2, \dots, x_n)$. Mějme pro i -tou veličinu odhad střední hodnoty \bar{x}_i a nejistoty Δ_i , pak odhad veličiny \bar{y} je dán vztahem

$$\bar{y} = f(\bar{x}_1, \bar{x}_2, \dots, \bar{x}_n) \quad (5)$$

a odhad její nejistoty Δ_y podle zákona přenosu nejistot

$$\Delta_y = \sqrt{\left(\left. \frac{\partial f}{\partial x_1} \right|_{\bar{x}_1} \right)^2 \Delta_1^2 + \left(\left. \frac{\partial f}{\partial x_2} \right|_{\bar{x}_2} \right)^2 \Delta_2^2 + \dots + \left(\left. \frac{\partial f}{\partial x_n} \right|_{\bar{x}_n} \right)^2 \Delta_n^2}. \quad (6)$$

Poznámka

Předchozí vztahy jsou odvozeny za mnoha předpokladů; mezi jinými jsou to předpoklady, že náhodné odchylky naměřených hodnot splňují Gaussovo rozdělení, jednotlivé naměřené hodnoty jsou statisticky nezávislé a podobně. Také v těchto vztazích nejsou zahrnuty další možné vlivy, jako odchylky měřicích přístrojů, či nevhodné metody zpracování. Tento návod je třeba brát pouze jako pomocný seznam několika potřebných vztahů. Pro detailnější rozbor odkazujeme na literaturu, která je dostupná v hojném počtu i v českém jazyce.

Literatura:

- [1] Pánek Petr, *Úvod do fyzikálních měření*, MU Brno 2001.
- [2] Humlíček Josef, *Statistické zpracování výsledků měření*, UJEP Brno 1984.
- [3] Meloun Milan, Militký Jirí, *Statistické zpracování experimentálních dat*, PLUS Praha 1994.
- [4] Kučírková Assja, Navrátil Karel, *Fyzikální měření – I.*, Státní pedagogické nakladatelství, Praha 1986.

Počet měření	Počet stupňů volnosti ν	Hladina spolehlivosti P					
		0,50	0,68	0,90	0,95	0,98	0,99
2	1	1,000	1,838	6,314	13,968	31,821	63,657
3	2	0,816	1,321	2,920	4,527	6,965	9,925
4	3	0,765	1,197	2,353	3,307	4,541	5,841
5	4	0,741	1,142	2,132	2,869	3,747	4,604
6	5	0,727	1,111	2,015	2,649	3,365	4,032
7	6	0,718	1,091	1,943	2,517	3,143	3,707
8	7	0,711	1,077	1,895	2,429	2,998	3,500
9	8	0,706	1,067	1,860	2,366	2,896	3,355
10	9	0,703	1,059	1,833	2,320	2,821	3,250
11	10	0,700	1,053	1,812	2,284	2,764	3,169
12	11	0,697	1,048	1,796	2,255	2,718	3,106
13	12	0,696	1,043	1,782	2,231	2,681	3,055
14	13	0,694	1,040	1,771	2,212	2,650	3,012
15	14	0,692	1,037	1,761	2,195	2,625	2,977
16	15	0,691	1,034	1,753	2,181	2,603	2,947
17	16	0,690	1,032	1,746	2,169	2,584	2,921
18	17	0,689	1,030	1,740	2,158	2,567	2,898
19	18	0,688	1,029	1,734	2,149	2,552	2,878
20	19	0,688	1,027	1,729	2,141	2,540	2,861
21	20	0,687	1,026	1,725	2,133	2,528	2,845
	25	0,684	1,020	1,708	2,105	2,485	2,787
	30	0,683	1,017	1,697	2,087	2,457	2,750
	40	0,681	1,013	1,684	2,064	2,423	2,704
	50	0,679	1,010	1,676	2,051	2,403	2,678
	100	0,677	1,005	1,660	2,025	2,364	2,626
	∞	0,675	1,000	1,645	2,000	2,326	2,576

Tabulka 1: Tabulka Studentových koeficientů $t_{P,\nu}$.

BOZF0221 Základy fyzikálně optických měření 1

1. Měření odporu

Cíle úlohy

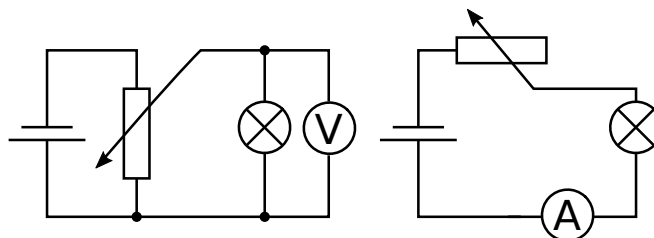
- Změřit přímou a nepřímou metodou odpor rezistoru
- Ověřit vztahy pro celkový odpor rezistorů řazených sériově a paralelně.

Teorie

Odpor rezistoru (nebo vodiče, části obvodu, součástky, spotřebiče) je definován vztahem

$$R = \frac{U}{I},$$

kde I je proud protékající rezistorem a U je napětí na rezistoru. Jednotkou odporu je ohm: $1\Omega = 1V/1A$. Je-li poměr napětí a proudu a tedy odporu rezistoru konstantní (nezávislý na protékajícím proudu), říkáme, že takový rezistor je lineární a platí pro něj Ohmův zákon: přímá úměra mezi proudem a napětím. Ostatní rezistory, které tuto podmínku nesplňují, jsou nelineární a Ohmův zákon pro ně neplatí. Rezistory se používají v obvodech a spotřebičích pro nejrůznější funkce, významnou funkcí rezistoru je proměna elektrické energie v Jouleovo teplo: $P_j = R \cdot I^2$ - každý rezistor se průchodem proudu ohřívá. Proměnný rezistor můžeme použít jako regulační odpor ve funkci reostatu (při regulaci proudu ze zdroje do spotřebiče), nebo potenciometru (při regulaci napětí ze zdroje:



Obrázek 1: Proměnný odpor při regulaci napětí (vlevo) a proudu (vpravo).

Obě zapojení lze použít k měření voltampérových charakteristik spotřebiče a rozhodnout, zda splňuje nebo nesplňuje Ohmův zákon. Měření odporu můžeme provádět v zásadě dvěma způsoby: přímou metodou a nepřímými metodami. Přímá metoda vychází přímo z definice odporu a k jeho určení se měří napětí a proud v zapojení uvedeném na předcházejících obrázcích doplněných voltmetrem nebo ampérmetrem. Mezi významné nepřímé metody patří můstkové metody a srovnávací metoda. O nich je podrobně pojednáno v [1].

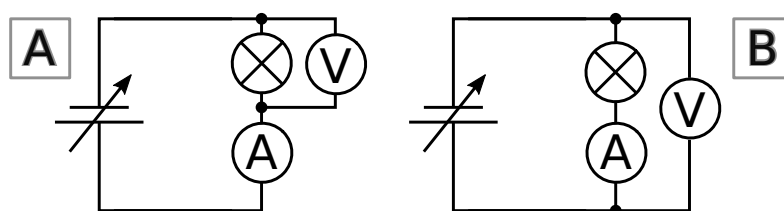
Přímá metoda

Jsou možná dvě zapojení voltmetru a ampérmetru do obvodu s měřením rezistorem R :

V žádném ze zapojení nejsou údaje voltmetru U_V a ampérmetru I_A totožné zároveň s napětím U i proudem I v definici odporu, protože voltmetr má konečný (vnitřní) odpor R_V a ampérmetr má nenulový odpor R_A . K určení U a I proto použijeme Kirchhoffovy zákony:

Zapojení A:

$$R = \frac{U}{I} = \frac{U_V}{I_A - I_V}, \quad I_V = \frac{U_V}{R_V}$$



Obrázek 2: Možná zapojení pro ověření Ohmova zákona přímou metodou.

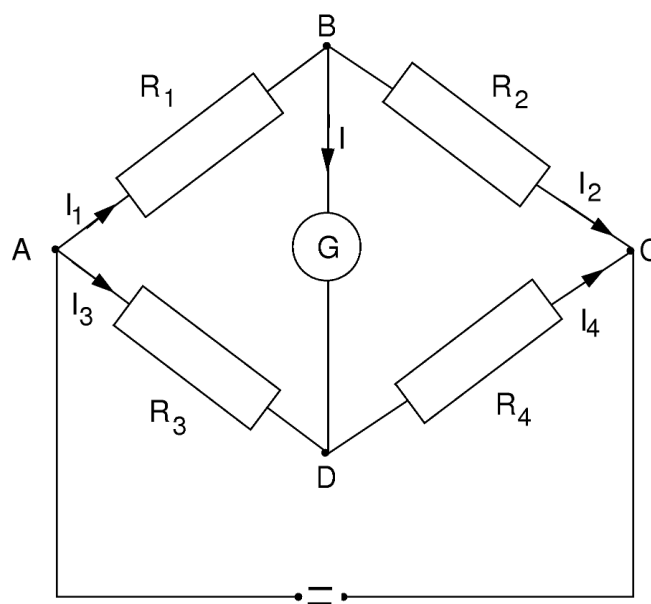
Zapojení B:

$$R = \frac{U}{I} = \frac{U_V - U_A}{I_A}, \quad U_A = I_A R_A$$

V zapojení A zmenšujeme proud tekoucí ampérmetrem o proud I_V voltmetrem a v zapojení B zmenšujeme údaj voltmetru o úbytek napětí U_A na ampérmetru. To jsou tzv. korekce na vnitřní odpor voltmetru a ampérmetru. Provádíme je tehdy, není-li proud voltmetrem I_V zanedbatelně malý vzhledem k chybě údaje ampérmetru, resp. není-li úbytek napětí na ampérmetru U_A zanedbatelně malý vzhledem k chybě údaje voltmetru. Chyby údajů voltmetru nebo ampérmetru můžeme určit z rozsahu a třídy přesnosti u ručičkových měřidel a z technických parametrů výrobce u číslicových měřidel.

Můstková metoda – Wheatstoneův most

Wheatstoneův most je tvořen čtyřmi rezistory zapojenými do čtverce, v jedné diagonále je zapojen zdroj a ve druhé citlivý měřič proudu – galvanoměr.



Obrázek 3: Wheatstoneův most

Změnou odporů nastavíme nulový proud galvanoměrem – říkáme, že je můstek vyvážen, je v rovnováze. V tomto případě protéká rezistory R_1 a R_2 stejný proud I_1 a rezistory R_3 a R_4 stejný proud I_2 . Napíšeme-li II. Kirchhoffův zákon pro uzavřené obvody $R_1.G.R_3$ a $R_2.R_4.G$:

$$I_1 R_1 - I_2 R_3 = 0 \quad \text{a} \quad I_1 R_2 - I_2 R_4 = 0$$

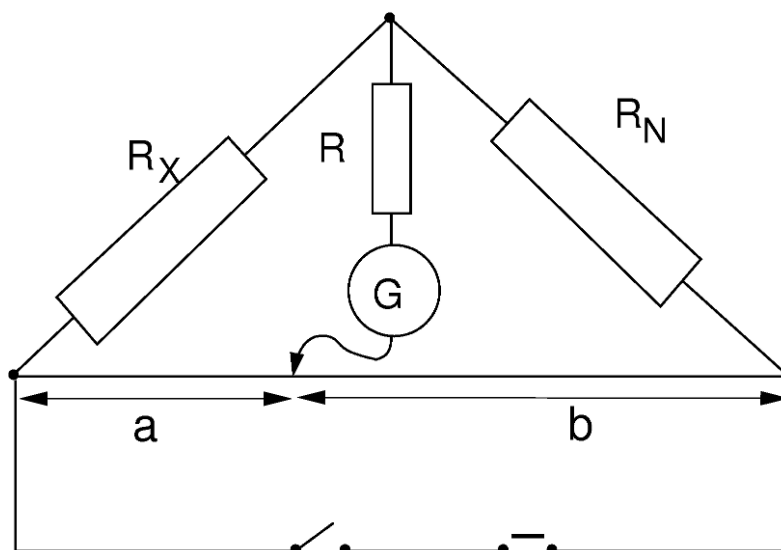
vyplývá z požadavku $I_1 \neq 0$, $I_2 \neq 0$ podmínka pro čtyři rezistory

$$\frac{R_1}{R_2} = \frac{R_3}{R_4} \quad \text{při} \quad I_G = 0$$

To je podmínka rovnováhy na Wheatstoneově mostě a z ní můžeme určit jeden neznámý odpor, pokud odpory tři zbývajících rezistorů známe.¹

Experimentální provedení

Měření odporu přímou metodou provedeme v zapojení podle schématu A nebo B Obrázku 1. Regulaci proudu protékajícího měřeným rezistorem provádíme pomocí elektronického zdroje (např. BK 127, kterým lze regulovat napětí od 0 do 20V při proudu do 1A), voltmetr připojíme buď na rezistor (A) nebo na rezistor a ampérmetr (B). Při měření postupujeme od nejmenšího k největšímu proudům. Při tomto způsobu měření můžeme ověřit, zda hodnota odporu měřeného rezistoru závisí nebo nezávisí na velikosti proudu. Měření odporů Wheatstoneovým mostem provedeme v zapojení, kde měřený odpor je $R_x = R_1$, rezistor $R_N = R_2$ je odporová dekáda a rezistory R_3 a R_4 tvoří odporový drát s posuvným kontaktem:



Obrázek 4: Zapojení Wheatstoneova mostu

Posouváním kontaktu můstek vyvažujeme. Můstek je napájen z elektronického regulovaného zdroje přes reostat a spínač. Do větve s galvanoměrem je zapojen proměnný rezistor R_1 , kterým zmenšujeme proud galvanoměrem v případě, že most není ještě dostatečně vyvážen. V případě rovnováhy ($I_G = 0$) a za předpokladu, že odporový drát má po celé délce stejný měrný odpor ρ a stejný průřez S , bude $R_3 = \rho a/S$, $R_4 = \rho b/S$ a hodnota měřeného odporu je

$$R_x = \frac{a}{b} R_N = \frac{a}{l-a} R_N,$$

kde $l = a + b$ je celková délka odporového drátu. Snažíme se využít maximální citlivosti mostu při $R = 0$ a polohu jezdce, tj. délku a , čteme při minimální hodnotě odporu R . Měření opakujeme při různých hodnotách odporu dekády R_N .

Zpracování měření

Výsledky měření uveďte ve formě tabulek. U přímé metody uvádějte údaje měřících přístrojů U_V , I_A a zjištěnou hodnotu R ; opravy o I_V a U_A zanedbejte. Vypočítejte střední hodnoty a střední kvadratické odchylky a

¹ K běžnému i laboratornímu měření proudů, napětí a odporů se používají tzv. multimetry, většinou digitální. U těchto přístrojů se měří odpor většinou přímou metodou tak, že z vnitřního zdroje konstantního proudu protéká proud měřeným rezistorem (proud je nezávislý na velikosti měřeného odporu) a voltmetrem (vestavěným) se měří úbytek na rezistoru, který se displeji zobrazuje přímo v ohmech. Pro vyloučení vlivu přívodních vodičů jsou některé multimetry vybaveny možností tzv. čtyřvodičového připojení měřeného rezistoru, kdy jsou odděleny přívody od zdroje proudu od přívodů k voltmetru.

pomocí nich intervaly spolehlivosti, ve kterých měřené hodnoty odporu rezistorů leží na vámi zvolené hladině spolehlivosti.

Pro měření odporů a jejich kombinace sestrojte společný graf závislosti měřeného napětí na proudu protékajícím rezistory, $U = f(I)$, a rozhodněte, zda jsou rezistory lineární.

Pomocí vztahů pro sériové a paralelní řazení rezistorů vypočítejte odhad středních hodnot odporu \bar{R}_s a \bar{R}_p v těchto zapojeních a porovnejte tyto odhady s jejich přímo měřenými hodnotami. Rozhodněte, zda vaše měření platnost vztahů

$$\bar{R}_s = \bar{R}_1 + \bar{R}_2 \quad \frac{1}{\bar{R}_p} = \frac{1}{\bar{R}_1} + \frac{1}{\bar{R}_2}$$

potvrzuje.

Porovnejte výsledky měření stejných rezistorů přímou a můstkovou metodou.

Úkoly

- Změřte opakovaně odpor rezistoru R_1 a rezistoru R_2 přímou metodou při různých proudech
- Rozhodněte na základě výsledků měření přímou metodou, zda rezistory R_1 a R_2 jsou lineární, tj. zda splňují Ohmův zákon
- Změřte opakovaně odpor rezistorů R_1 a R_2 zapojených sériově a zapojených paralelně přímou metodou při různých proudech
- Přesvědčte se, zda platí vztahy pro sériové a paralelní řazení rezistorů
- Změřte opakovaně odpor rezistorů R_1 a R_2 můstkovou metodou
- Posuďte, zda výsledky měření odporu rezistorů R_1 a R_2 přímou metodou a můstkovou metodou se shodují.

Literatura:

- [1] Kučírková A., Navrátil K.: *Fyzikální měření I.*, SPN Praha 1986

BOZF0221 Základy fyzikálně optických měření 1

2. Měření vrcholové lámavosti čoček

Cíle úlohy

- učit index lomu ploskovypuklé a ploskoduté čočky
- učit vzdálenosti odpovídajících hlavních rovin, jsou-li čočky přitisknuty plochými stěnami k sobě a zakřivenými stěnami k sobě.

Teorie

V této úloze se zaměříme na srovnání optické mohutnosti a vrcholové lámavosti. V textu budeme užívat standardní znaménkovou konvenci, přiřazující kladná znaménka vzdálenostem měřeným od čočky směrem doprava a záporná znaménka vzdálenostem měřeným směrem doleva (především pro poloměry křivosti stěn čočky).

Základním vztahem svazujícím geometrické (poloměry křivosti r_i a tloušťku d) a materiálové (index lomu n_l) parametry čočky s její mohutností je Gullstrandova rovnice,

$$\varphi = \varphi_1 + \varphi_2 - \frac{d}{n_l} \varphi_1 \varphi_2,$$

kde φ je mohutnost čočky v obrazovém prostoru a

$$\varphi_1 = \frac{n_l - n}{r_1} \quad \varphi_2 = \frac{n' - n_l}{r_2}$$

jsou mohutnosti jednotlivých stěn čočky. Přitom n a n' jsou po řadě indexy lomu prostředí před čočkou a za čočkou. My budeme uvažovat čočku obklopenou vzduchem, $n' = n = 1$.

Pokud by šlo navíc zanedbat poslední člen v Gullstrandově rovnici, jednalo by se o čočku opticky tenkou, jejíž mohutnost je prostým součtem mohutností jejích stěn.

Vrcholová lámavost

Stojí za povšimnutí, že má-li čočka plochou stěnu, je z optického hlediska vždy tenká, nezávisle na své tloušťce: skutečně, pro $r_i \rightarrow \infty$ dostáváme $\varphi_i \rightarrow 0$ a třetí člen v Gullstrandově rovnici nevystupuje. Celková mohutnost čočky s plochou stěnou je tak rovna mohutnosti zbývající stěny (a tedy podle očekávání nulová, jsou-li ploché stěny obě, jako je tomu v případě planparalelní desky nebo hranolu).

Mohutnost čočky φ je úzce svázána s ohniskovou vzdáleností, v našem jednoduchém případě čočky ponořené ve vzduchu platí

$$\varphi = \frac{1}{f}.$$

To činí z mohutnosti veličinu prakticky obtížně měřitelnou, neboť ohnisková vzdálenost čočky je definována jako vzdálenost ohniska od příslušné hlavní roviny čočky. Hlavní roviny čočky přitom obecně nesplývají s jejími vrcholovými rovinami a leží v obecné poloze.

Z tohoto důvodu zavádíme sečnou ohniskovou vzdálenost s , definovanou jako vzdálenost ohniska od příslušného vrcholu čočky. V analogii s mohutností zavádíme také vrcholovou lámavost S jako

$$S = \frac{1}{s}.$$

Dá se ukázat, že pro vrcholové lámavosti jednotlivých stěn čočky obklopené vzduchem platí

$$S_1 = \frac{\varphi}{1 - \frac{d}{n_l}\varphi_2} \quad S_2 = \frac{\varphi}{1 - \frac{d}{n_l}\varphi_1}.$$

Této vlastnosti vrcholové lámavosti využijeme pro měření indexu lomu fokometrem. Za normálních okolností je ve fokometru měřená čočka umístěna jednou ze svých stěn v ohniskové rovině kolimátoru, a měří se tak právě vrcholová lámavost této stěny. Přitom z obou stran čočky je vzduch. Toho můžeme využít, pokud speciálně zvolíme čočku s jednou stěnou plochou, řekněme $\varphi_1 = 0$. V takovém případě platí

$$r_1 \rightarrow \infty : \quad S_2 \equiv \varphi,$$

a při uložení čočky na stolek fokometru zakřivenou stěnou měříme přímo mohutnost celé čočky.

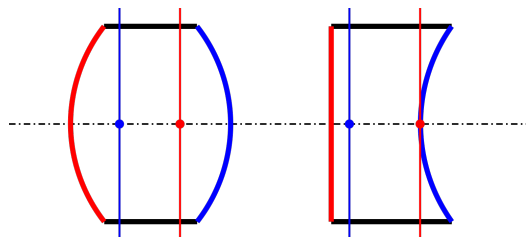
My využijeme speciálního tvaru naší čočky a změříme ji rovněž položenou na stolek fokometru stěnou plochou. Naše čočka je tenká a platí tedy pro ni z Gullstrandovy rovnice $\varphi \equiv \varphi_2$. Použitím výše uvedených vztahů pak pro vrcholovou lámavost ploché stěny čočky můžeme psát

$$r_1 \rightarrow \infty : \quad S_1 = \frac{\varphi}{1 - \frac{d}{n_l}\varphi_2} = \frac{\varphi}{1 - \frac{d}{n_l}\varphi} = \frac{S_2}{1 - \frac{d}{n_l}S_2}.$$

Obě vrcholové lámavosti umíme změřit, takže z předchozí rovnice můžeme vyjádřit neznámý poměr d/n_l , jako

$$\frac{d}{n_l} = \frac{1}{S_2} - \frac{1}{S_1}.$$

Pokud budeme znát tloušťku naší čočky, můžeme z měření fokometrem určit její index lomu.



Obrázek 5: Schematické znázornění poloh hlavních rovin vzhledem ke stěnám dojvypuklé (vlevo), resp. ploskoduté (vpravo) čočky.

Složená čočka

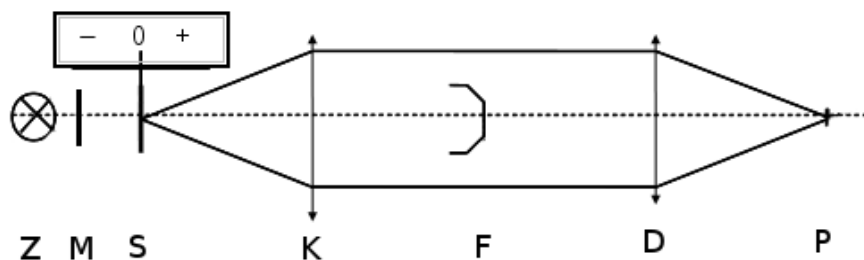
Na závěr ověříme vztahy pro řazení čoček do složených optických systémů. Protože uvažujeme opticky tenké čočky, můžeme pro výslednou mohutnost φ' složené optické soustavy použít vztah

$$\varphi' = \varphi_1 + \varphi_2 - \varphi_1\varphi_2d,$$

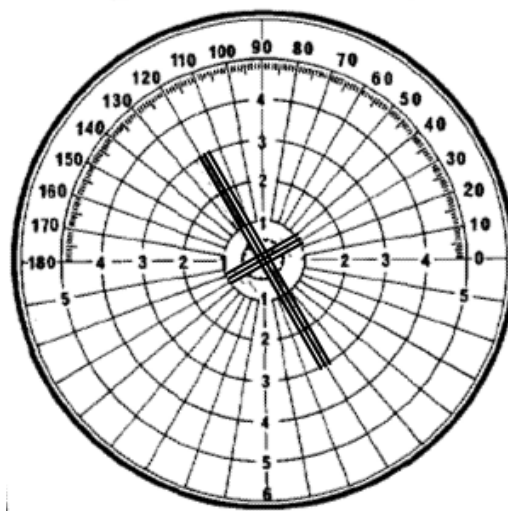
kde d je vzdálenost vnitřních hlavních rovin čoček. Pokud známe mohutnosti φ_1 , φ_2 obou vstupních čoček, a výslednou čočku můžeme prohlásit za tenkou, lze z předchozího vztahu měřením na fokometru určit vzdálenost odpovídajících hlavních rovin čoček ve složeném systému.

Experimentální provedení

V laboratorní úloze použijeme projekční fokometr Nikon PL-2, abychom minimalizovali subjektivní vliv obsluhy fokometru.



Obrázek 6: Zjednodušené schema projekčního fokometru: Z zdroj světla s filtrem, M promítaný motiv, S stupnice, K čočka kolimátoru, F stolek pro měřenou čočku v ohniskové rovině kolimátoru, D dalekohled, P projekční obrazovka



Obrázek 7: Promítaný motiv fokometru se skládá z kříže a kružnice.

Promítaný obrazec má tvar kříže s centrální kružnicí svítících bodů. Po vložení čočky otáčíme měřicím kolem tak dlouho, dokud obrazec není zaostřen. Na stupnici pod matnicí potom odečteme hodnotu vrcholové lámavosti pro aktuální konfiguraci.

Na samotné matnici fokometru můžeme také odečítat několik dalších údajů. Kromě natočení, které by se uplatnilo při použití sferocylindrických čoček, je na matnici také vyznačena soustava soustředných kružnic, které postupně od středu odpovídají decentrování čočky o jednu, dvě atd. prizmatické dioptrie.

Pro vyšší přesnost čtení je na stupnici fokometru připevněno zpřesňující měřítko.

Příchyt čočky ani značítka vrcholu nebudeme v naší laboratorní úloze využívat.

Zpracování měření

Zpracujte statisticky měření vrcholové lámavosti obou čoček, odděleně pro obě orientace čoček na měřicím stolku. Jak vyplývá z výše uvedených vztahů, v případě měření plochou stěnou položenou na stolek fokometru zjištěná vrcholová lámavost splývá s mohutností čočky. Pro potřeby výpočtu lomu obou čoček zpracujte statisticky také měření tloušťek obou čoček; při určování indexu lomu čoček použijte pouze průměrné hodnoty tloušťek čoček. Získané hodnoty indexu lomu zpracujte statisticky zvažit' pro každou z čoček.

Při výpočtu vzdálenosti hlavních rovin čoček z měření složené soustavy použijte průměrné hodnoty zjištěných mohutností z předchozího kroku; samotná měření vzdálenosti čoček zpracujte statisticky.

Úkoly

- (a) změřte opakovaně mikrometrem vrcholovou tloušťku ploskovypuklé a ploskoduté čočky (zde použijte hrotový mikrometr).
- (b) zkalibrujte nulovou polohu fokometru v nepřítomnosti vzorku.
- (c) opakovaně decentrujte vybranou čočku na stolku fokometru na hodnotu přibližně jedné prizmatické dípotrie v nahodilém směru a odečtěte její vrcholou lámavost. Použijte přitom jemnou stupnici k přesnějšímu odečtu.
- (d) proveďte předchozí bod pro obě stěny obou vybraných čoček.
- (e) proveďte obdobné měření pro čočky spojené plochými stěnami a spojené zakřivenými stěnami.

Literatura:

- [1] Kučírková A., Navrátil K.: Fyzikální měření I., SPN Praha 1986
- [2] Nikon PL-2, návod k použití fokometru (k dispozici v laboratoři)

BOZF0221 Základy fyzikálně optických měření 1

3. Měření polarizační schopnosti polaroidu a ověření Malusova zákona pro reálné polaroidy

Cíle úlohy

- Změřit intenzitu přirozeného světla prošlého souborem dvou polarizátorů v závislosti na jejich vzájemném natočení a porovnat ji s teoretickou předpovědí Malusova zákona
- Pro přirozené světlo a jeho vybrané monochromatizované části stanovit kvalitu polarizace polaroidu.

Teorie

Zdroje světla si lze představit jako soubor velkého množství vzájemně nezávislých zdrojů elektromagnetického záření (atomy, molekuly). Světlo vyzařované např. jedním atomem je lineárně polarizované tzn. že vektor intenzity elektrického pole \vec{E} se v čase mění v přesně definované rovině – rovině kmitové (která je vždy kolmá na směr šíření světelné vlny). V daném okamžiku se ale ve směru vybraného paprsku světla šíří energie vyzařovaná mnoha různými elementárními zdroji. Tyto elementární zdroje jsou vzájemně nezávislé, takže jsou v celkové postupující vlně zastoupeny všechny možné kmitové roviny; hovoříme o *přirozeném světle*.

Z přirozeného světla můžeme získat lineárně polarizovanou vlnu pomocí polarizačních přístrojů – polarizátorů – a to buď odrazem nebo lomem. Pro další výklad je potřeba zavést pojem roviny dopadu, která je dána kolmicí k ploše na niž světlo dopadá a směrem letu dopadajícího paprsku světla. Každý kmit přirozeného světla lze rozložit na složku ležící v rovině dopadu (*p-složka*) a kolmou k rovině dopadu (*s-složka*).

Polarizace odrazem

Při odrazu přirozeného světla na dielektrickém zrcadle při zvětšujícím se úhlu dopadu od kolmice začínají v odraženém světle převládat kmity vektoru \vec{E} kolmé k rovině dopadu (viz [1], str. 164), světlo se stává částečně polarizovaným. Pro poměr dopadající (E_i) a odražené (E_r) amplitudy světelné vlny zavádíme koeficient odrazivosti $r = E_r/E_i$. Koeficienty odrazu se liší pro s- a p- složku světla a při odrazu na dielektriku pro ně platí

$$r_p = \frac{\tan(\varphi_0 - \varphi_1)}{\tan(\varphi_0 + \varphi_1)} \quad r_s = -\frac{\sin(\varphi_0 - \varphi_1)}{\sin(\varphi_0 + \varphi_1)} \quad (7)$$

kde φ_0 je úhel dopadu, φ_1 úhel lomu na rozhraní vzduch-dielektrikum.

Lze dosáhnout situace, kdy $r_p = 0$, tj. tehdy, když se $\tan(\varphi_0 + \varphi_1)$ blíží k nekonečnu, pak $\varphi_0 + \varphi_1 = \pi/2$ a paprsek odražený a lomený jsou na sebe kolmé. Je-li ale $r_p = 0$, dostáváme v odraženém světle pouze s-složku, tedy odražené světlo je úplně lineárně polarizované a tento úhel se nazývá polarizační, nebo také *Brewsterův úhel*.

Ze Snellova zákona plyne v našem případě

$$n = \frac{\sin \varphi_0}{\sin \varphi_1}$$

kde n je index lomu dielektrika. Pak, položíme-li $\varphi_0 \equiv \varphi_B$ a tedy $\varphi_1 = \pi/2 - \varphi_B$, platí

$$n = \frac{\sin \varphi_B}{\sin(\pi/2 - \varphi_B)} = \frac{\sin \varphi_B}{\cos \varphi_B} = \tan \varphi_B \quad (8)$$

Budeme-li úhel dopadu dále zvyšovat za hodnotu Brewsterova úhlu, obě složky se začnou v odražené vlně opět vyrovnávat, až pro dopad rovnoběžný s rozhráním nabudou společně jednotkové hodnoty (žádné světlo do nepřechází do dielektrika).

Pokud nás zajímá koeficient odrazivosti nikoliv amplitudy E elektrického pole světelné vlny, ale koeficient odrazivosti R její světelné intenzity I (kterou detekujeme očima i přístroji), platí v případě neabsorbujícího dielektrika jednoduchý vztah

$$R_s = r_s^2 \quad R_p = r_p^2.$$

Intenzita přirozeného světla (které obsahuje rovnoměrnou směs obou typů polarizace) odraženého na rozhraní dvou prostředí je dána vztahem

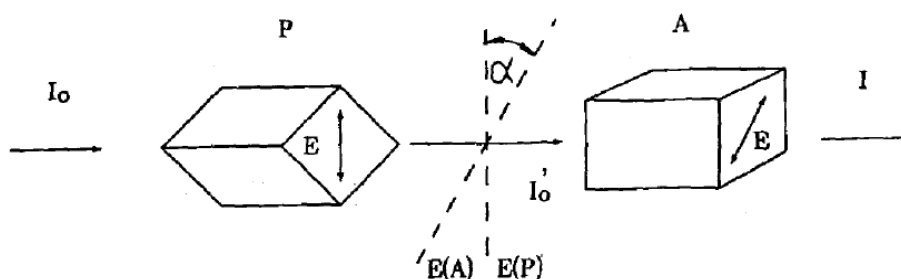
$$I^{(r)} = \frac{I_s^{(r)} + I_p^{(r)}}{2}, \quad (9)$$

čili

$$R = \frac{R_s + R_p}{2}.$$

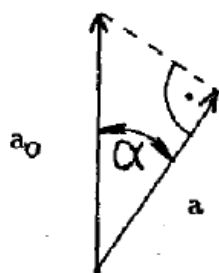
Polarizace lomem

Při průchodu paprsku přirozeného světla opticky anizotropním prostředím dochází k dvojlomu a mimořádný paprsek je lineárně polarizován, zatímco řádný paprsek je polarizován částečně.



Obrázek 8: Schema Malusova pokusu

Na obrázku P označuje polarizátor, A analyzátor, I_0 je intenzita přirozeného světla dopadajícího na polarizátor, I_0' je intenzita světla po průchodu polarizátorem. Dále je I intenzita svazku, který prošel analyzátozem A a α je úhel mezi kmitovými rovinami vektoru \vec{E} před a po průchodu analyzátozem.



Označíme-li amplitudu vektoru \vec{E} před průchodem analyzátozem a_0 a po průchodu a , pak podle předchozího obrázku platí

$$a = a_0 \cos \alpha$$

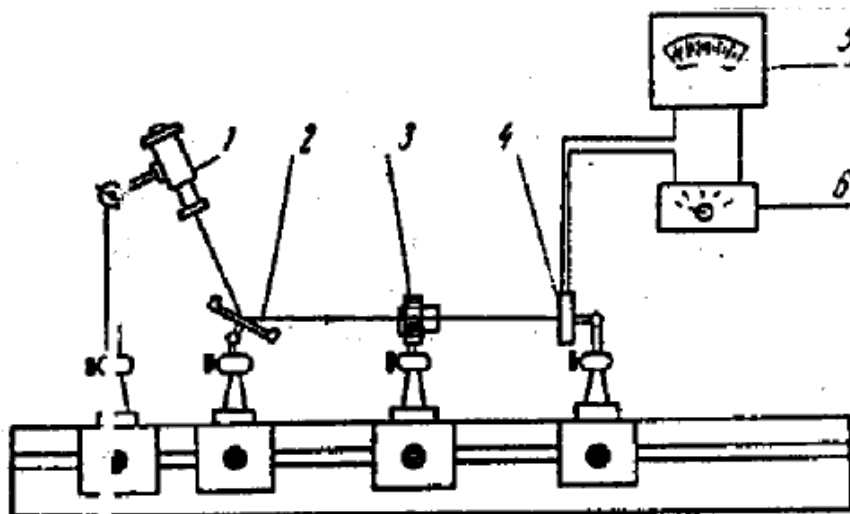
Intenzita světla je úměrná druhé mocnině amplitudy, tedy intenzita prošlého světla analyzátozem je dána vztahem

$$I = I_0' \cos^2 \alpha \quad (10)$$

což je matematický zápis *Malusova zákona*.

Experimentální provedení

1. Ověření platnosti Brewsterova zákona.



Obrázek 9: Ověření Brewsterova a Malusova zákona; 1 zdroj světla s polarizátorem, 2 dielektrické zrcadlo, 3 fokusační čočka/analyzátor, 4-6 detektor

Na obrázku je principiální uspořádání experimentu. Na optické lavici je umístěn zdroj přirozeného světla (1), dielektrické zrcadlo (2), polarizátor (Nikolův hranol) (3) a detektor intenzity světla (4) spolu s měřícím přístrojem (5).

Platnost Brewsterova zákona vyzkoušíme tak, že se destička dielektrika nastaví vůči dopadajícímu paprsku ze zdroje světla tak, aby úhel dopadu byl roven φ_B (index lomu dielektrika známe). Pak se bude otáčet analyzátozem (3) a měřit intenzita světla prošlého na detektor. Při otočení analyzátoru o 360 stupňů dvakrát naměříme hodnotu fotoproudu prakticky rovnou nule. Pak změníme úhel dopadu paprsku na dielektrikum o 2-5 stupňů a provedeme totéž. Fotoproud v tomto případě již nikdy nedosáhne nulové hodnoty.

2 Ověření platnosti Malusova zákona

Využijeme uspořádání jak je na obr. 1 s tím rozdílem, že dielektrické zrcadlo nahradíme dalším Nikolovým hranolem a světelný zdroj umístíme tak, aby světlo procházelo oběma polarizátory. Platnost Malusova zákona ověříme tak, že jeden z polarizátorů necháme v libovolné ale stále stejné poloze a druhým budeme otáčet. Závislost fotoproudu na úhlu stočení obou polarizátorů by měla odpovídat závislosti dle vztahu (4). Tuto závislost můžeme ještě dále využít ke stanovení stupně polarizace světla. Částečně polarizované světlo si lze představit složeno z části polarizované (intenzita I_p) a části nepolarizované (I_n). Stupeň polarizace V částečně polarizovaného světla je dán vztahem

$$V = \frac{I_p}{I_p + I_n} \quad (11)$$

Mějme dva polarizátory stejné kvality. Po průchodu polarizátorem č. 1 jsou intenzity polarizovaného světla $I_p^{(1)}$ a $I_n^{(1)}$. Jsou-li kmitové roviny obou polarizátorů rovnoběžné, dostaneme po průchodu světla intenzitu

$$I_{\max} = I_p^{(1)} + \frac{I_n^{(1)}}{2} + I_p^{(2)}$$

Naopak, jsou-li kmitové roviny navzájem kolmé, pak platí

$$I_{\min} = \frac{I_n^{(1)}}{2} + I_p^{(2)}$$

Testujeme např. polarizátor č. 1. Lze předpokládat, že $I_n^{(2)}$ se blíží k nule; pak dosadíme-li $I_p^{(1)}$ a $I_n^{(1)}$ do vztahu (5), dostaneme pro stupeň polarizace vztah

$$V = \frac{I_{\max} - I_{\min}}{I_{\max} + I_{\min}} \quad (12)$$

který určíme ze závislosti fotoproudu na úhlu stočení polarizátoru.²

Zpracování měření

Změřené závislosti fotoproudu I na otočení α prvního a druhého polarizátoru vykreslete do společného grafu. Do samostatného grafu vykreslete teoretickou předpověď Malusova zákona pro stejné hodnoty otočení α polarizátoru, jako v měřeném případě (intenzitu I'_0 dopadajícího světla v Malusově zákoně volte libovolně, například $I'_0 = 1$ mA.). Průběh grafu Malusova zákona porovnejte s naměřenými závislostmi. Z vyhotovených grafů odečtěte maximální a minimální hodnoty a stanovte z nich kvalitu polaroidu při polarizaci bílého světla. Z monochromatických měření maximální a minimální propustnosti soustavy polarizátorů stanovte obdobným způsobem kvalitu polaroidu pro jednotlivé vlnové délky; výsledky této části měření uvěďte do protokolu formou tabulky.

Úkoly

- Prověřte justování optické soustavy snahou o maximalizaci fotoproudu při pevném natočení polarizátorů
- Za použití bílého světla ponechte jeden z polarizátorů v pevné poloze, druhým otáčejte. Zaznamenejte hodnoty natočení polarizátoru a fotoproud odpovídající těmto natočením.
- Zopakujte měření se zaměněnými rolami polarizátorů.
- Vsunujte do optické cesty barevné filtry a zaznamenejte nejvyšší a nejnižší fotoproud, který můžete získat otočením polaroidu..

Literatura:

- [1] A.Kučírková, K.Navrátil, Fyzikální měření I, SPN Praha 1986.

²Ze světelného zdroje vychází přirozené světlo a dopadá na polarizátor č. 1, jehož stupeň polarizace chceme určit. Za ním je umístěn polarizátor č. 2 o němž předpokládáme, že je dokonalý tzn., že jeho hlavní propustnosti jsou rovny 1 resp. 0. Nepolarizované světlo je po průchodu polarizátorem č. 1 částečně nepolarizované a jeho polarizační vlastnosti jsou dle předchozího testovány.

BOZF0221 Základy fyzikálně optických měření 1

4. Měření parametrů mikroskopu

Cíle úlohy

- Provést kalibraci zvětšení mikroskopu pomocí kalibračního normálu
- Zjistit skutečnou velikost pozorovaného předmětu

Teorie

Mikroskop je centrovaná soustava dvou složených spojných čoček. Přední z nich – objektiv – má malou ohniskovou vzdálenost f_1 (viz. obr.1), zadní čočka – okulár – má ohniskovou vzdálenost f_2 několik centimetrů. Podotýkáme ještě jednou, že obě jsou vlastně složité optické soustavy. Nedílnou součástí každého mikroskopu je dále kondenzor a osvětlovací soustava. Optický interval objektivu a okuláru má velkou hodnotu ve srovnání s f_1 a f_2 (zpravidla 16 cm).

Na obr.1 označuje φ_1 předmětovou ohniskovou rovinu objektivu a φ_2 předmětovou ohniskovou rovinu okuláru, tytéž symboly s čárkami pak označují příslušné obrazové roviny objektivu a okuláru. Aby se oko při pozorování mikroskopem neunavovalo stálou akomodací, klade se předmět y na stolek mikroskopu do malé vzdálenosti před ohniskovou rovinu objektivu, který vytvoří zvětšený, převrácený, reálný obraz v předmětové rovině φ_2 okuláru. Okulár zobrazí tedy předmět v nekonečnu – pozorujeme neakomodovaným okem. Mikroskop se zaostřuje otáčením dvou šroubů, jedním se provede zaostření zhruba, druhým se jemně doostří. Zvětšení objektivu plyne z elementárních úvah o zobrazení tenkou čočkou (viz. úloha č.8),

$$Z_1 = \frac{y'}{y} = \frac{f_1' - a'}{f_1'}$$

Z obr.1 plyne, že $a' = f_1' + \Delta$. Optický interval Δ je vzdálenost obrazové ohniskové roviny objektivu a předmětové ohniskové roviny okuláru. Pak pro zvětšení objektivu Z_1 platí

$$Z_1 \equiv \frac{f_1' - f_1' - \Delta}{f_1'} = -\frac{\Delta}{f_1'} = \frac{\Delta}{f_1} \quad (13)$$

Při odvození zvětšení okuláru vycházíme z faktu, že pozorování obrazu vytvořeného objektivem se provádí neakomodovaným okem, tzn. že okulár funguje podobně jako lupa [1,2]. Zvětšení je v tomto případě dáno poměrem zorného úhlu u'_∞ pod nímž vidíme předmět čočkou k zornému úhlu u_l pod nímž se oku jeví tentýž předmět v konvenční vzdálenosti $l = -25$ cm.

Z obr. 2 tedy plyne, že

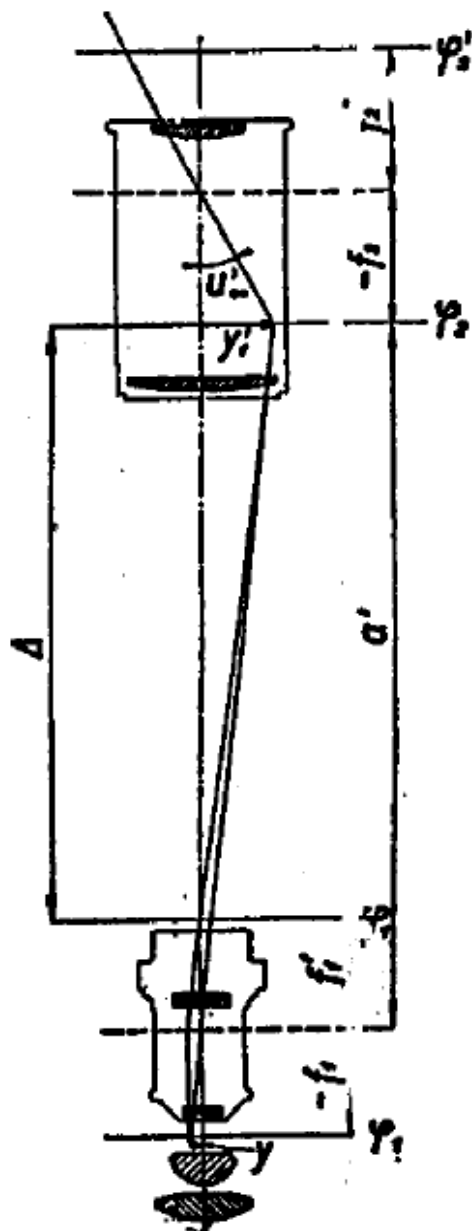
$$Z_2 \equiv \frac{u''_\infty}{u_l} \doteq \frac{\tan u''_\infty}{\tan u_l} = \frac{y}{-f} : \frac{y}{-l} = \frac{l}{f} = -\frac{l}{f'} \quad (14)$$

Zvětšení mikroskopu Z je dáno vztahem

$$Z_\infty = \frac{u'_\infty}{u_l}, \quad (15)$$

kde u'_∞ je zorný úhel pod nímž vidíme předmět mikroskopem při neakomodovaném oku a u_l je zorný úhel pod nímž se oku jeví tento předmět ve vzdálenosti $l = -25$ cm. Z obr.1 vidíme, že

$$\tan u'_\infty = \frac{y'_1}{-f_2}$$



Obrázek 10: Optické schéma mikroskopu

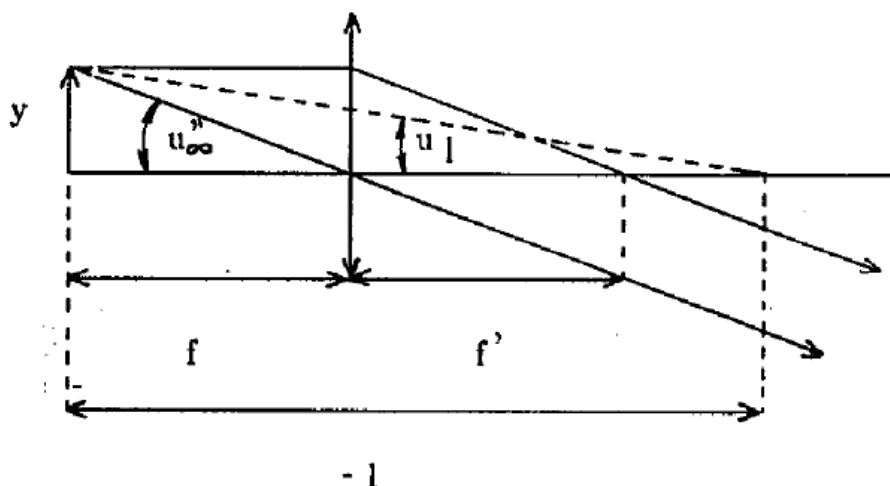
a protože dále platí $\tan u_2 = y/(-l)$, dostáváme konečně

$$Z_\infty = \frac{y' l}{y f_2}.$$

Srovnáním se shora odvozenými vztahy lze tedy psát

$$Z_\infty = Z_1 \cdot Z_2 = \frac{\Delta}{f_1} \cdot \frac{l}{f_2} \quad (16)$$

Zvětšení mikroskopu je dáno součinem zvětšení objektivu a okuláru. Bývají na objektivěch i okulárech uvedena a jejich kombinací lze dosáhnout žádaného zvětšení.



Obrázek 11: Zvětšení okuláru

Experimentální provedení

1. Stanovení zvětšení projekčního mikroskopu

- Na stoleček položíme měřítko na němž je vzdálenost vyznačených dílků rovná 200 a 50 mikrometrů.
- Obraz zaostříme za použití objektivu s nejmenším dostupným zvětšením. Posuvem ztotožníme obraz měřítko se stupnicí na matnici projekčního mikroskopu. Na této stupnici jsou dílky ve vzdálenosti 1 mm. Pak můžeme okamžitě určit hledané zvětšení mikroskopu Z , známe-li skutečnou velikost měřeného předmětu. Zaznamenejme-li is dále hodnotu zvětšení Z_1 použitého objektivu lze pak určit ze vztahu (4) zvětšení okuláru Z_2 .

2. Pozorování drobných předmětů v proslém světle pomocí projekčního mikroskopu.

Pomocí již dříve zjištěného zvětšení můžeme obdobným způsobem pomocí stupnice na matnici mikroskopu určit např. tloušťku lidského vlasu.

3. Práce s mikroskopem s osvětlením na odraz (neprůhledné objekty).

- na stoleček umístíme pozorovaný předmět známé velikosti (v našem případě vlas, jehož tloušťku jsme získali v předchozí části úlohy),
- použijeme odečítacího okuláru s vestavěnou stupnicí
- provedeme zaostření na pozorovaný předmět a upravíme jeho polohu tak, abychom mohli odečíst jeho rozměr v dílcích pomocí stupnice v odečítacím okuláru
- zopakujeme postup v případě vzorku neznámé velikosti (část mikročipu) a ze zjištěných údajů jeho velikost stanovíme.

Zpracování měření

Získané hodnoty velikostí obrazů kalibračního měřítko zpracujte statisticky: stanovte celková zvětšení mikroskopu při použití jednotlivých objektivů (měření obou velikostí kalibračních objektů zahrňte vždy do společného průměru pro daný objektiv), dále stanovte průměrné zvětšení projekční části mikroskopu (zahrnutím měření na všech objektivěch dohromady). Z měření obrazu vlasu stanovte společnou hodnotu jeho skutečné tloušťky pro všechny použité objektivy (určete průměrnou hodnotu a její krajní odchylku). Pro měření na mikroskopu na odraz určete jeho zvětšení a skutečnou velikost pozorovaného objektu.

Úkoly

- (a) Změřte opakovaně velikost obrazu obou kalibračních měřítek pro všechny dostupné objektivy projekčního mikroskopu.
- (b) Změřte opakovaně velikost obrazu lidského vlasu pro všechny dostupné objektivy projekčního mikroskopu.
- (c) Změřte velikost obrazu vlasu v odečítacím okuláru mikroskopu s osvětlením na odraz
- (d) Změřte velikost obrazu vybrané struktury mikroelektronického obvodu v mikroskopu s osvětlením na odraz

Literatura:

- [1] Z. Horák, Praktická fyzika, SNTL.Praha 1958
- [2] A.Kučírková, K.Navrátil, Fyzikální měření I, SPN Praha 1986
- [3] J.Brož a kol., Základy fyzikálních měření I, SPN 1983

BOZF0221 Základy fyzikálně optických měření 1

5. Stanovení indexu lomu hranolu metodou minimální deviace

Cíle úlohy

- Určit lámavý úhel hranolu
- Stanovit disperzi indexu lomu hranolu z měření minimální deviace

Teorie

Metodu minimální deviace lze použít ke stanovení indexu lomu vzorků (sklo, plasty, atd.) které mají tvar hranolu. Dvě sousední stěny, kterými vstupuje a vystupuje paprsek spolu svírají lámavý úhel ω , který spolu s indexem lomu tvoří parametry hranolu. Paprsek vystupující z hranolu je od vstupujícího paprsku odchýlen o úhel δ , nazvaný deviace. Ta závisí na úhlu dopadu α a na parametrech hranolu – můžeme ji vyjádřit ve tvaru

$$\delta = f(\alpha, \omega, n) \quad (17)$$

Z této závislosti bychom mohli index lomu určit, kdybychom změřili deviaci, lámavý úhel a úhel dopadu. Z průběhu deviace v závislosti na úhlu dopadu vyplývá, že funkce (1) má absolutní minimum pro určitý úhel dopadu. Toto minimum se nazývá minimální deviace δ_m a snadno se experimentálně najde jako bod obratu vystupujícího paprsku při monotonní změně úhlu dopadu. Z podmínky pro minimum funkce (1) lze určit vztah pro index lomu, lámavý úhel a minimální deviaci [2]:

$$n = \frac{\sin([\delta_2 + \omega]/2)}{\sin(\omega/2)} \quad (18)$$

V tomto vztahu již nevystupuje úhel dopadu a k určení indexu lomu stačí změřit lámavý úhel hranolu ω a minimální deviaci δ_m vystupujícího paprsku určité vlnové délky. Tento postup se nazývá metoda minimální deviace.

Index lomu látek je závislý na vlnové délce světla. Tomuto jevu se říká disperze a je způsobená závislostí rychlosti šíření monochromatické elektromagnetické vlny v látce a na její frekvenci. Disperze je příčinou existence tzv. rozkladu světla hranolem, o kterém se můžeme přesvědčit osvětlíme-li hranol paprskem bílého světla, nebo světlem z výbojky. Pozorujeme, že největší deviaci mají paprsky s barvou fialovou a nejmenší s barvou červenou. Tedy s rostoucí vlnovou délkou deviace klesá a protože podle (2) nebo (1) většímu indexu lomu odpovídá větší deviace, klesá index lomu s rostoucí vlnovou délkou. Tato závislost se nazývá normální disperze látky a její znalost je významná z hlediska použití dané látky pro optické účely. Naším úkolem bude zjistit tuto závislost pro sklo, ze kterého je vyroben hranol, tj. určit disperzní křivku hranolu.

Experimentální provedení

Jako zdroje světla použijeme rtuťovou výbojku, která ve viditelné oblasti spektra obsahuje řadu čar o známých vlnových délkách uvedených [2]. Potřebné úhly: lámavý úhel ω hranolu a úhel δ_m minimální deviace paprsků změříme pomocí goniometru. Polohu paprsku budeme určovat vizuálně pomocí nitkového kříže umístěného v ohniskové rovině okuláru dalekohledu, do kterého zobrazíme vstupní šterbinu kolimátoru osvětlenou výbojkou při měření úhlu minimální deviace.

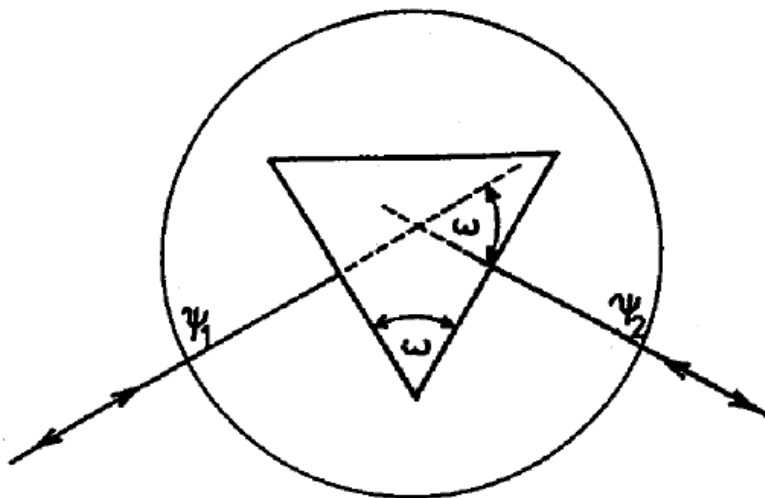
Vlastní měření se provádí na goniometru SG-5, který má pevné rameno s kolimátorem a otočný stolek s měřeným hranolem. Polohu stolku a dalekohledu lze velmi přesně nastavit hrubým a jemným posuvem a číst ji

s přesností jednotek úhlových vteřin. Způsob manipulace a odečítání úhlů na stupnici je popsáno v návodu na obsluhu tohoto goniometru. Před měřením je třeba provést justování hranolu, které spočívá v nastavení lámavých ploch kolmo na optickou osu dalekohledu. Provádí se nakláněním stolečku regulačními šrouby. Kolmost se kontroluje autokolimační metodou: nitkový kříž osvětlený žárovkou v okuláru se po odrazu od justované lámavé plochy hranolu zobrazí zpět do ohniskové roviny okuláru dalekohledu. Při ztotožnění nitkového kříže ze svým obrazem je lámavá plocha kolmá k optické ose dalekohledu. Postup opakujeme několikrát.

Měření lámavého úhlu ω hranolu provádíme tak, že změříme úhel, který spolu svírají paprsky kolmé k lámavým plochám. Je-li úhel mezi kolmicemi $\psi_1 - \psi_2$, je lámavý úhel

$$\omega = 180 - (\psi_1 - \psi_2), \quad (19)$$

ψ_1 a ψ_2 jsou úhlové polohy dalekohledu na stupnici spojené se stolečkem. Při měření otáčíme z polohy ψ_1 do polohy ψ_2 stolečkem spojeným se stupnicí, polohu dalekohledu neměníme.



Obrázek 12: Průchod světla hranolem

Měření úhlu minimální deviace δ_m provádíme pro každou spektrální čáru rtuti v bodě obratu paprsku. Najdeme ho změnou úhlu dopadu otáčením stolečku s hranolem. Protože nemůžeme změřit úhlovou polohu paprsku vstupujícího do hranolu (museli bychom sejmut hranol) postupujeme tak, že změříme úhlovou polohu ϕ_1 vystupujícího paprsku při jeho vstupu do hranolu první lámavou plochou, pak otočíme stolek s hranolem tak, aby paprsek vstupoval do hranolu druhou lámavou plochou a změříme jeho polohu ϕ_2 po výstupu z hranolu.

Rozdíl těchto úhlů je dvojnásobek minimální deviace [2]:

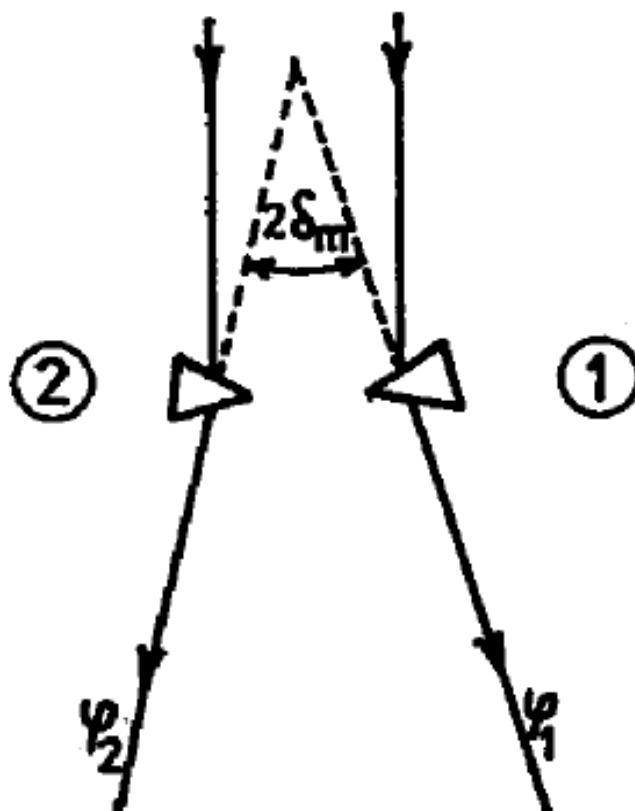
$$\delta_m = (\phi_1 - \phi_2)/2 \quad (20)$$

Při měření postupujeme tak, že nejdříve změříme pro všechny zvolené spektrální čáry polohy ϕ_1 , pak hranol otočíme a měříme polohy ϕ_2 u stejných spektrálních čar.

Index lomu pro každou spektrální čáru vypočítáme ze vztahu (2). Příslušnou vlnovou délku najdeme v [2] nebo přímo v tabulkách [3].

Zpracování měření

Získané hodnoty lámavého úhlu hranolu zpracujte statisticky. Z odpovídajících párů hodnot minimální deviace stanovte index lomu hranolu pro jednotlivé proměřované spektrální čáry. Získanou závislost indexu lomu na vlnové délce vynesete do grafu. Posuďte, zda se v případě proměřovaného hranolu jedná a tzv. normální disperzi (kdy index lomu klesá s rostoucí vlnovou délkou).



Obrázek 13: Polohy minimální deviace

Úkoly

- Prověďte justaci hranolu metodou zrcadlení nitkového kříže (doporučuje se umístit hranol na stolek goniometru tak, aby jeho lámavé plochy byly zhruba proti stavěcím šroubům).
- Změřte opakovaně lámavý úhel hranolu.
- Změřte úhly minimální deviace pro spektrální čáry rtuti v obou polohách hranolu.

Literatura:

- Průchod světla planparalelní deskou a hranolem, návod k úloze do fyzikálního praktika pro optometrii
- A. Kučírková, K. Navrátil, Fyzikální měření 1, str. 148, SPN Praha 1986
- J. Brož, V. Roskovec, M. Valouch: Fyzikální a matematické tabulky str. 137, SNTL Praha 1980

BOZF0221 Základy fyzikálně optických měření 1

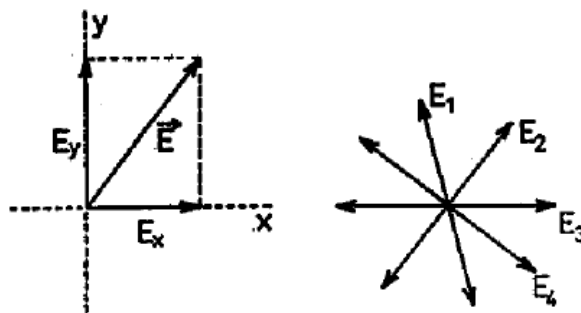
6. Závislost stáčení polarizační roviny roztoku na koncentraci

Cíle úlohy

- Připravit roztoky sacharózy o zadané koncentraci a ověřit tuto koncentraci měřením
- Stanovit specifickou stáčivost opticky aktivní látky (sacharózy)

Teorie

Světlo je příčné vlnění elektromagnetického pole. Pro popis světelných jevů plně postačí se zaměřit na chování periodicky proměnného vektoru elektrického pole \vec{E} . Tento vektor je vždy kolmý ke směru šíření paprsku. Je-li směr vektoru \vec{E} ve všech bodech paprsku v čase stálý, hovoříme o lineárně polarizovaném světle a rovina, v níž se kmity dějí se nazývá kmitová rovina. Lineárně polarizované světlo můžeme získat lomem nebo odrazem [1].



Obrázek 14: Polarizace denního světla

Je vhodné rozložit vektor elektrického pole \vec{E} do dvou navzájem kolmých směrů a vyjádřit ho ve složkách E_x a E_y (obr.1, přičemž se světelný paprsek šíří kolmo k rovině obrázku). Je-li fázový posuv δ mezi těmito složkami stálý a je-li zároveň roven nule, dostáváme lineárně polarizované světlo. V případě, že $\delta = \pi/2$ a navíc platí $E_x = E_y$ opisuje koncový bod vektoru \vec{E} kružnici a dostáváme kruhově polarizované světlo; v obecném případě, kdy $0 < \delta < \pi/2$ jde o elipticky polarizované vlnění.

Lidské oko není citlivé na stav polarizace světla a musíme tedy vždy testovat pomocí vhodného analyzačního zařízení v jakém stavu je po této stránce detekované záření. K tomuto účelu se ve většině polarimetrických přístrojů využívá Malusova zákona [1].

Optická aktivita látek

Látky jsou opticky aktivní, mají-li schopnost stáčet rovinu lineárně polarizovaného světla. Tuto vlastnost mají jak některé látky pevné tak i některé roztoky obsahující v molekule např. asymetricky umístěný uhlík (vodný roztok sacharózy). Podle směru stočení kmitové roviny se opticky aktivní látky dělí na pravo- a levotočivé vzhledem k pozorovateli hledícímu proti směru šíření světla. Biot stanovil empirický vztah pro úhel stočení kmitové roviny po průchodu aktivní látkou,

$$\alpha = [\alpha]d \quad (21)$$

kde $[\alpha]$ je specifická stáčivost zkoumané látky a d je tloušťka této látky. Veličina $[\alpha]$ závisí na teplotě a vlnové délce světla. Jde-li o roztoky, pak

$$\alpha = [\alpha]cd \quad (22)$$

kde c označuje koncentraci opticky aktivní látky. Specifickou stáčivost roztoku lze stanovit ze vztahu (2) polarimetrem:

$$[\alpha] = \frac{100\alpha}{dq}, \quad (23)$$

kde q je počet gramů látky ve 100 cm^3 roztoku. Koncentraci roztoku je vhodné experimentálně stanovit sacharimetrem. Stupnice kompezátoru tohoto přístroje je cejchována tak, že 50-ti dílkům na stupnici odpovídá 26 % roztok sacharózy v destilované vodě (26 g sacharózy ve 100 cm^3 roztoku). Užijeme-li při měření sodíkové čáry ($\lambda = 589,3 \text{ nm}$), znamenají dílky na stupnici mezinárodní stupně cukernatosti a objemovou koncentraci v procentech zjistíme ze vztahu

$$c = \frac{26}{50}(n - n_0), \quad (24)$$

kde n_0 je nulová poloha kompezátoru a n poloha kompezátoru, odpovídající vykompenzování stočení kmitové roviny lineárně polarizovaného světla vlivem opticky aktivního roztoku v kyvetě délky 0.1 m.

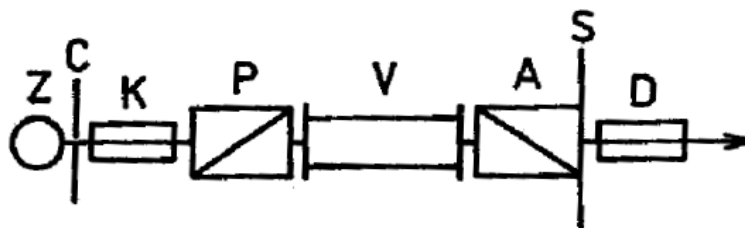
Experimentální provedení

Připravíme asi 25 cm^3 15 % roztoku sacharózy a nalijeme do kyvety. Zbytek roztoku zředíme tak, abychom získali 10 % roztok sacharózy a znovu odlejeme do druhé kyvety. Postup ještě jednou zopakujeme tak, nay ve třetí kyvetě byl 5 % roztok sacharózy.

Nastavíme sodíkovou výbojku před sacharimetr tak, aby bylo zorné pole správně osvětleno. Vykompenzujeme osvětlení zorného pole na polostín a odečteme na stupnici nulovou polohu. Do kyvetového prostoru přístroje vložíme kyvetu s roztokem sacharózy a znovu vykompenzujeme osvětlení zorného pole na polostín, na stupnici opět přečteme údaj. Ze vztahu (4) pak určíme objemovou koncentraci roztoku. Toto opakujeme alespoň 5x. Výbojku přemístíme před polarimetr. Otáčením analyzátoru nastavíme polostín a odečteme na stupnici nulovou polohu (pozor na správnou stupnici). Kyvetu s roztokem vložíme do přístroje a opět najdeme polostín a na stupnici odečteme úhel stočení. Ze vztahu (3) určíme specifickou stáčivost, měření opakujeme alespoň 5x.

Polarimetr

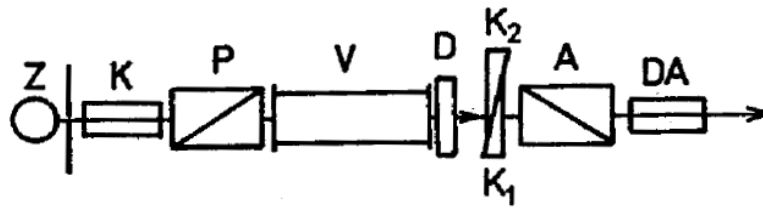
Polarimetr je znázorněn na obr.2. Světlo z monochromatického zdroje (Z) je kolimátorem (K) zpracováno na rovnoběžný svazek paprsků. Průchodem přes polarizátor (P) se vlnění lineárně polarizuje a buď prochází přes měřený vzorek (V) nebo jde přímo na analyzátor (A), kterým lze otáčet kolem optické osy přístroje. Výsledná intenzita prošlého světla se pozoruje dalekohledem (D). Polarizátor a analyzátor jsou zpravidla realizovány pomocí speciálních hranolů z opticky anizotropních krystalů.



Obrázek 15: Polarimetr

Zkřížíme-li kmitové roviny polarizátoru a analyzátoru, bude intenzita osvětlení zorného pole minimální. Naše oči pozorují minimum osvětlení dosti nepřesně a nespolehlivě, naopak jsou citlivé na kontrast v osvětlení dvou sousedních ploch. Tohoto poznatku se využívá při konstrukci tzv. polostínového zařízení analyzátoru [2,3], kde

se snažíme dosáhnout otáčením analyzátoru takového stavu, při kterém jsou obě poloviny zorného pole osvětleny stejně (málo). Úhel stočení analyzátoru vůči polarizátoru se měří na stupnici (S).



Obrázek 16: Sacharimetr

Sacharimetr (obr.3) je konstrukčně proveden obdobně jako polarimetr s tím rozdílem, že analyzátor a polarizátor jsou nastaveny napevno ve skřížené poloze a kompenzace případných změn kmitové roviny se provádí dvojicí křemenných klínů (K1, K2), přístroj je navíc opatřen křemennou destičkou (D). Křemen stáčí kmitovou rovinu lineárně polarizovaného světla a změnou tloušťky křemenných destiček lze vykompenzovat stočení kmitové roviny způsobené měřeným vzorkem. Tento přístroj je také opatřen polostínovým zařízením.

Zpracování měření

Ze získaných hodnot stupně cukernatosti zpracujte statisticky hodnoty koncentrace jednotlivých roztoků. Ze získaných hodnot úhlu stočení polarizační roviny stanovte statisticky pro každý roztok hodnotu specifické stáčitosti sacharózy; získané výsledky porovnejte s tabulkovou hodnotou specifické stáčitosti sacharózy.

Úkoly

- Připravte tři roztoky sacharózy o různé koncentraci (15 %, 10 %, 5 %).
- Stanovte opakovaně stupeň cukernatosti každého z roztoků a prázdné kyvety pomocí sacharimetru.
- Určete polarimetrem úhel stočení kmitové roviny připravených roztoků a prázdné kyvety.

Literatura

- [1] Měření polarizační schopnosti polaroidu a ověření Malusova zákona pro reálné polaroidy, návod k úloze do fyzikálního praktika pro optometrii
- [2] A. Kučírková, K. Navrátil, Fyzikální měření I, SPN Praha 1986
- [3] Z. Horák, Praktická fyzika, SNTL Praha 1958

BOZF0221 Základy fyzikálně optických měření 1

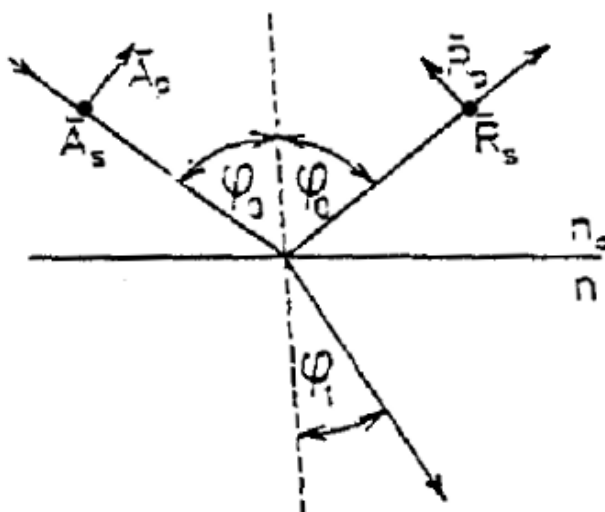
7. Měření světla odraženého na povrchu dielektrika

Cíle úlohy

- Proměřit odrazivost s- a p- polarizovaného světla v závislosti na úhlu dopadu
- Stanovit index lomu použitého dielektrika v Brewsterově úhlu a mimo něj

Teorie

Chování elektromagnetické světelné vlny při odrazu na rozhraní dvou neabsorbujících prostředí zjistíme z Maxwellových rovnic [1]. Situace je znázorněna na obr. 1. Rovina dopadu je definována dopadajícím paprskem světla a kolmicí k uvažovanému rozhraní dvou dielektrických prostředí. \vec{A} a \vec{R} jsou amplitudy dopadající a odražené vlny, přičemž p a s jsou složky amplitudy lineárně polarizovaného světla rovnoběžné s rovinou dopadu resp. kolmé k této rovině. Symbolem n_0 je označen index lomu okolního prostředí (vzduch), n je index lomu měřeného dielektrika.



Obrázek 17: Odraz světla na rovinném rozhraní, rozklad do s- a p- polarizace.

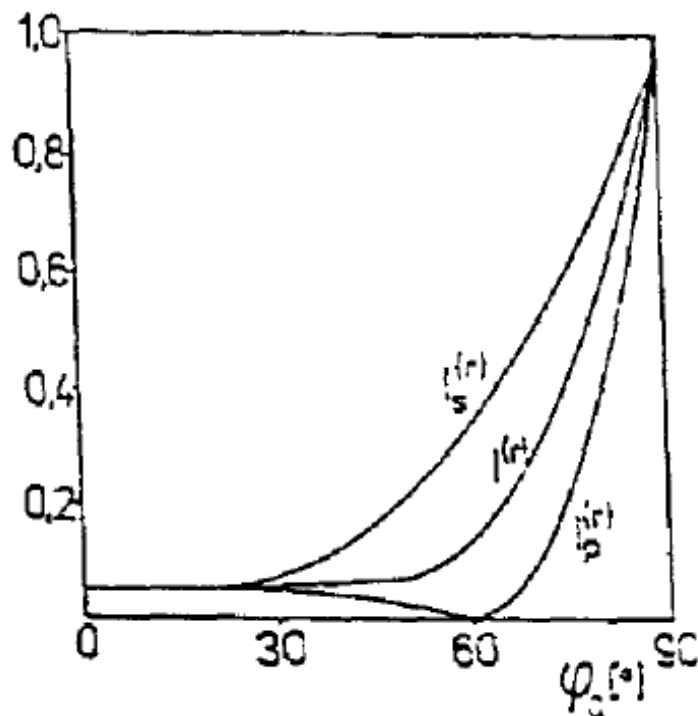
Řešením vlnové rovnice dostáváme pro odraženou vlnu Fresnelovy amplitudy r_p a r_s ($r_p = \vec{R}_p/\vec{A}_p$, $r_s = \vec{R}_s/\vec{A}_s$; \vec{R}_s a \vec{A}_s jsou kolmé k rovině nákresu obrázku), které jsou dány vztahy

$$r_p = \frac{\tan(\varphi_0 - \varphi_1)}{\tan(\varphi_0 + \varphi_1)} \quad r_s = -\frac{\sin(\varphi_0 - \varphi_1)}{\sin(\varphi_0 + \varphi_1)} \quad (25)$$

kde úhel φ_0 je úhel dopadu světelného paprsku na rozhraní a φ_1 označuje úhel lomu. Na základě Snellova zákona je možné vztahy (1) přepsat do tvaru

$$r_p = \frac{n \cos \varphi_0 - n_0 \cos \varphi_1}{n \cos \varphi_0 + n_0 \cos \varphi_1} \quad r_s = \frac{n_0 \cos \varphi_0 - n \cos \varphi_1}{n_0 \cos \varphi_0 + n \cos \varphi_1}. \quad (26)$$

Z této dvojice vztahů je zřejmé, že amplitudy jsou závislé na úhlu dopadu φ_0 světelného paprsku a na indexech lomu obou prostředí. Rozbor vztahů (1) ukazuje, že amplituda $r_s < 0$ pro všechny úhly dopadu, zatímco $r_p > 0$ pro $\varphi < \varphi_B$ a $r_p < 0$ pro $\varphi > \varphi_B$, kde φ_B je tzv. polarizační (Brewsterův) úhel, pro nějž je $r_p = 0$.



Obrázek 18: Odrazivost polarizovaného světla, průběh v závislosti na úhlu dopadu.

Tento fakt je významný pro optickou praxi. V tomto případě se totiž odráží pouze s-složka lineárně polarizovaného světla. To platí i pro odraz přirozeného světla a proto lze odrazem na povrchu dielektrického zrcadla při polarizačním úhlu dosáhnout lineárně polarizované vlny. Je-li $r_p = 0$, pak jmenovatel v prvním vztahu (1) roste do nekonečna, tedy $\varphi_0 + \varphi_1 = \pi/2$; paprsek odražený a lomený jsou navzájem kolmé. Ze vztahu (2) pro $r_p = 0$, dostáváme matematický zápis Brewsterova zákona

$$\tan \varphi_B = n, \quad (27)$$

pokud $n_0 = 1$.

Předpokládejme, že intenzita dopadajícího světla $I_p^0 = I_s^0 = 1$, pak je intenzita odraženého světla pro obě složky dána vztahy

$$I_p^R = r_p^2 \quad I_s^R = r_s^2. \quad (28)$$

Závislosti I_p^R a I_s^R na úhlu dopadu mají odlišný charakter (viz obr. 2). Veličina I_s^R monotonně roste s rostoucí hodnotou φ_0 , a při úhlu dopadu 90 stupňů je rovná jedné. Intenzita I_p^R s rostoucí hodnotou úhlu dopadu nejprve klesá k nule, při $\varphi_0 = \varphi_B$ je $I_p^R = 0$ a pro $\varphi_0 > \varphi_B$ opět rychle roste: pro 90 stupňů je opět $I_p^R = 1$. Intenzita přirozeného světla odraženého na rozhraní dvou neabsorbujících prostředí je dána vztahem

$$I^R = I_p^R/2 + I_s^R/2. \quad (29)$$

Dopadá-li na rozhraní světlo o intenzitě I_0 , pak odrazivost p-složky je $R_p = I_p^R/I_0$ a odrazivost s-složky je $R_s = I_s^R/I_0$. Z odrazivosti R_p a R_s jsme také schopni stanovit hodnoty indexu lomu měřeného dielektrika. Výrazy $\pm\sqrt{R_p}$ a $\pm\sqrt{R_s}$ odpovídají pravé straně vztahů (2), přičemž znaménko plus nebo minus před odmocninou je dáno v každém konkrétním případě fyzikální podstatou problému. Za předpokladu, že se měření provádí ve vzduchu, platí $n_0 = 1$ a můžeme např. z prvního vztahu (2) vypočítat $\cos \varphi_1$ a dosadit jej do druhého vztahu

(2). Jednoduchou úpravou pak dostaneme za předpokladu, že provádíme měření na skle, následující vztahy pro hledaný index lomu skla: pro úhly dopadu $\varphi_0 < \varphi_B$ platí

$$n = \sqrt{\frac{(1 + \sqrt{R_s})(1 + \sqrt{R_p})}{(1 - \sqrt{R_s})(1 - \sqrt{R_p})}}, \quad (30)$$

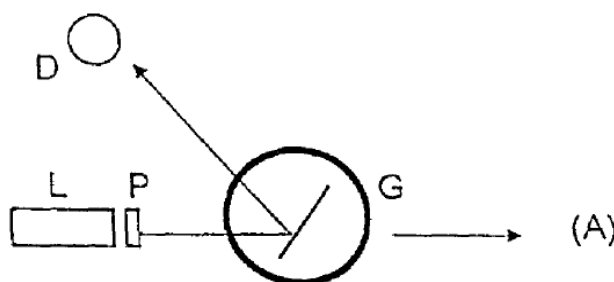
pro případ $\varphi_0 > \varphi_B$ pak

$$n = \sqrt{\frac{(1 + \sqrt{R_s})(1 - \sqrt{R_p})}{(1 - \sqrt{R_s})(1 + \sqrt{R_p})}}. \quad (31)$$

Tento postup v sobě skrývá určitou potíž spočívající v tom, že výpočet indexu lomu je v tomto případě založen na znalosti absolutních hodnot odrazivosti p- a s- složky lineárně polarizovaného světla. Pro větší úhly dopadu se v námi naměřených hodnotách odrazivosti R_s a R_p stále více projevuje efekt, jehož podstatu vyučující vysvětlí při vlastním měření úlohy.

Experimentální provedení

Smyslem této úlohy je zjistit průběh křivek $I_p = f(\varphi_0)$ a $I_s = f(\varphi_0)$ pro danou neabsorbující látku a využitím vztahu (3) určit pro použitou vlnovou délku světla index lomu dané látky. Principiální uspořádání experimentu je uvedeno na obr.: úzký svazek paprsků vycházející z laseru (L) prochází polarizátorem (P). Zde se světlo lineárně polarizuje a otáčením polarizátoru lze docílit toho, že kmitová rovina je rovnoběžná (kolmá) s rovinou dopadu, což odpovídá p- (s-) složce amplitudy dopadajícího světla. Po odrazu světla na měřeném vzorku umístěném na stolečce (G) goniometru svazek světla dopadá na detektor (D) spojený s měřícím přístrojem. Otáčením stolečku se vzorkem kolem jeho svislé osy měníme úhel dopadu světelného svazku a odečítáme signál na měřícím přístroji detektoru.



Obrázek 19: Aparatura po měření odrazivosti; L laserová dioda, P polarizátor, G goniometr se vzorkem, D detektor, (A) referenční pozice pro měření signálu bez vzorku.

Chceme-li určit úhlovou závislost odrazivosti R_p a R_s , je třeba před začátkem měření odstranit ze stolečku měřený vzorek a v místě označeném (A) detektorem stanovit celkovou intenzitu svazku. Intenzity odraženého světla I_p , I_s pak vyjádříme jako příslušnou část této intenzity, tedy

$$R_p = \frac{I_p}{I_0^p} \quad R_s = \frac{I_s}{I_0^s},$$

kde I_0^p a I_0^s jsou intenzity v nepřítomnosti dielektrika. My budeme předpokládat, že detektor má lineární závislost své odezvy na dopadající intenzitu světla a všechny odrazivosti budeme proto moci určovat přímo z hodnot signálu na detektoru.

Pro přirozené světlo zjevně platí

$$R = \frac{R_s + R_p}{2}.$$

Zpracování měření

Pro jednotlivé polarizace ze získaných hodnot fotoproudu bez přítomnosti vzorku a se zvoleným úhlem dopadu světla na vzorek stanovte hodnoty koeficientu odrazivosti, $R_s = I_s/I_0^s$, $R_p = I_p/I_0^p$. Závislost koeficientu odrazivosti na úhlu dopadu zakreslete pro obě polarizace do společného grafu. Do téhož grafu vynesete předpověď závislosti koeficientu odrazivosti pro přirozené světlo. Ze získaných závislostí stanovte pro několik hodnot úhlu dopadu pod Brewsterovým úhlem a pro několik hodnot nad ním předpověď indexu lomu měřeného dielektrika. Přesnější měření úhlové závislosti fotoproudu v blízkosti minima p-složky zpracujte do grafu a určete z něj hodnotu Brewsterova úhlu. Z hodnoty Brewsterova úhlu stanovte index lomu dielektrika a porovnejte jeho hodnotu s výpočty v předchozí části úlohy.

Úkoly

- Stanovte velikost signálu detektoru pro obě polarizace světla s vyjmutým dielektrikem (I_0^p , I_0^s).
- Stanovte úhlové závislosti signálu detektoru, I_p , I_s , lineárně polarizovaného světla pro zvolené dielektrikum.
- V okolí minima I_p proměřte závislost signálu detektoru s jemnějším krokem v úhlech dopadu.

Literatura

- [1] A. Vašíček, Optika tenkých vrstev, NČSAV Praha 1956.

BOZF0221 Základy fyzikálně optických měření 1

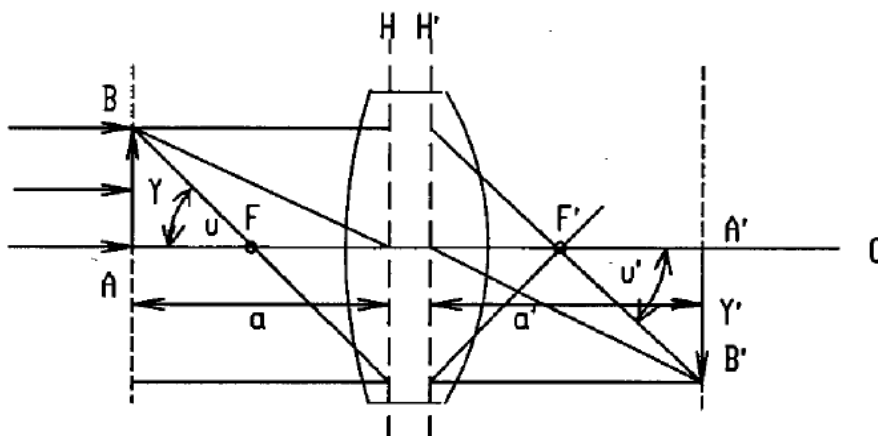
8. Měření ohniskové vzdálenosti tenkých čoček

Cíle úlohy

- Určení ohniskové vzdálenosti tenké čočky třemi různými metodami, porovnání výsledků
- Určení ohniskové vzdálenosti tenké rozptylky

Teorie

Průchod paraxiálních paprsků soustavou centrovaných kulových lámavých ploch je popsán základními zobrazovacími parametry, mezi něž patří hlavní a uzlové body (respektive roviny), ohniska a ohniskové vzdálenosti. Dopadá-li na zobrazovací soustavu (obr.1) svazek paprsků rovnoběžných s optickou osou O , pak po průchodu soustavou se paprsky protínají v obrazovém ohnisku F' . Naopak, svazek paprsků vycházejících z bodu F (předmětové ohnisko) se změni po průchodu soustavou na rovnoběžný svazek. Rovina kolmá k optické ose procházející předmětovým, respektive obrazovým ohniskem se nazývá předmětovou, respektive obrazovou ohniskovou rovinou.



Obrázek 20: Popis tlusté čočky

Na obr.1 jsou obrazem bodů A, B body A', B' . Poměr úseček $y' = A'B'$ a $y = AB$ se nazývá příčným zvětšením β ,

$$\beta = \frac{y'}{y}. \quad (32)$$

Poměr úhlů u' a u , které svírají sdružené paprsky s optickou osou, se nazývá úhlové zvětšení γ ,

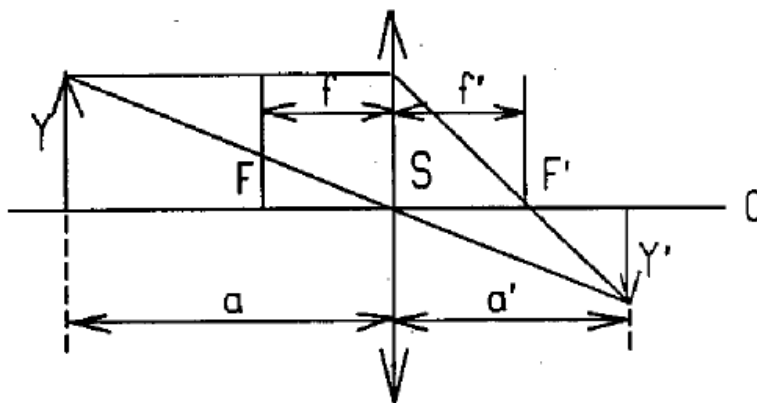
$$\gamma = \frac{u'}{u}. \quad (33)$$

Hlavními rovinami soustavy nazýváme dvojici sdružených rovin, kolmých k optické ose, pro něž je příčné zvětšení rovno jedné. Hlavními body nazýváme průsečíky hlavních rovin s optickou osou. Uzlovými rovinami nazýváme dvojici sdružených rovin kolmých k optické ose, pro něž je úhlové zvětšení rovno jedné. Uzlovými body

nazýváme průsečíky uzlových rovin s optickou osou. Vzdálenost předmětového (obrazového) ohniska od předmětového (obrazového) hlavního bodu se nazývá předmětová (obrazová) ohnisková vzdálenost soustavy. Je-li tloušťka čočky zanedbatelná ve srovnání s poloměry křivosti lámavých ploch, hovoříme o tenké čočce. V takovém případě hlavní roviny splývají a čočka je pak při výpočtech představována rovinou středního řezu.

Znaménková konvence a zobrazovací rovnice čočky

Předmětový a obrazový prostor jsou charakterizovány souřadnými soustavami, jejichž počátky v případě tenké čočky leží ve stejném bodě ve středu čočky. Při výpočtech je nutné rozlišovat kladné a záporné hodnoty v těchto souřadných soustavách. Definice kladného a záporného prostoru může být různá, avšak je-li zvolena určitá definice, všechny vztahy musí být v soulasu s touto konvencí.



Obrázek 21: Přímé měření ohniskové vzdálenosti tenké spojkky

Budeme důsledně používat následující znaménkovou konvenci: vzdálenost měříme od středu čočky a sice tak, že leží-li bod napravo od počátku bereme vzdálenosti kladně a v opačném případě záporně; leží-li bod nad osou O bereme vzdálenosti kladně a v opačném případě záporně. Na obr. 2 je znázorněno zobrazování spojkou – vidíme, že tady $a < 0$, $a' > 0$, $f < 0$, $f' > 0$, $y > 0$, a $y' < 0$. V uvedené znaménkové konvenci zobrazovací rovnice čočky má tvar

$$\frac{1}{a'} - \frac{1}{a} = \frac{1}{f'}, \quad (34)$$

kde a je předmětová vzdálenost, a' je obrazová vzdálenost a f' je obrazová ohnisková vzdálenost.

Experimentální provedení

Úloha je sestavena na optické lavici, obsahující zdroj světla se zabudovaným předmětem (šipka s měřítkem), držáky pro měřené čočky a stínítko. Jednotlivé metody vycházejí z proměření poloh prvků optické lavice při zaostření obrazu na stínítku.

Stanovení ohniskové vzdálenosti tenké spojkky z polohy obrazu a předmětu

Ze zobrazovací rovnice (3) vyplývá pro ohniskovou vzdálenost f' vztah

$$f' = \frac{aa'}{a - a'}. \quad (35)$$

Určíme-li tedy vzdálenosti a a a' , pak pomocí vztahu (4) vypočítáme f' . Měření se provádí na optické lavici s měřítkem, na které jsou umístěny předmět y (svítící šipka s vestavěným měřítkem), proměřovaná čočka S a

stínítko, na něž zachycujeme obraz y' (viz obr.2). Změnou polohy čočky nebo stínítka při stálé poloze předmětu hledáme co nejlépe zaostřený obraz a odečteme na měřítku optické lavice hodnoty a , a' .

Stanovení ohniskové vzdálenosti tenké čočky z příčného zvětšení

Podle obr. 2 pro příčné zvětšení platí

$$\beta = \frac{y'}{y} = \frac{a'}{a}. \quad (36)$$

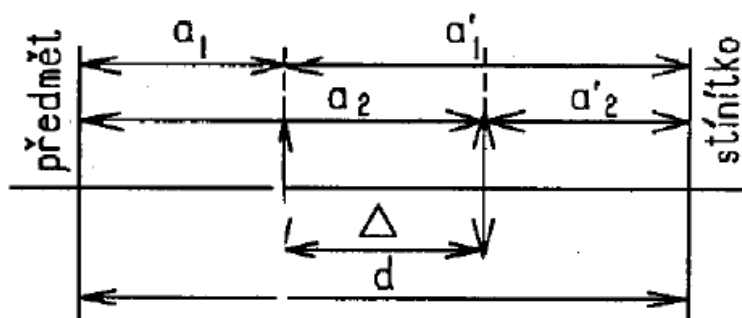
Rovnici (4) přepíšeme do tvaru

$$f' = \frac{a'}{1 - \beta} = \frac{a\beta}{1 - \beta}. \quad (37)$$

Zvětšení β určíme tak, že na stínítku změříme určitou část osvětleného milimetrového měřítka. K změřenému β přiřadíme odpovídající vzdálenost a nebo a' . Z rovnice (6) vypočítáme ohniskovou vzdálenost. Z hlediska dosažení maximální přesnosti je vhodné volit vzdálenost a co největší, na druhé straně bereme zřetel na to, aby obraz byl dostatečně velký, aby zvětšení bylo dobře měřitelné.

Stanovení ohniskové vzdálenosti tenké spojky Besselovou metodou

Uvažujeme uspořádání podle obr. 3. Vzdálenost d předmětu od stínítka ponecháme pevnou.



Obrázek 22: Stanovení ohniskové vzdálenosti tenké spojky Besselovou metodou.

Dá se ukázat, že pro $d > 4f$ existují dvě polohy spojky, ve kterých se na stínítku vytvoří ostrý obraz. Uvědomíme-li si, že polohy předmětu a obrazu mohou být vzájemně vyměněny,

$$a_1 = -a_2', \quad a_2 = -a_1' \quad (38)$$

Dále platí (viz.obr.3)

$$d = |a_1| + |a_1'| = |a_2| + |a_2'| \quad (39)$$

$$\Delta = |a_1'| - |a_2'| = |a_2| - |a_1|. \quad (40)$$

Ze vztahů (7)-(9) lze odvodit, že

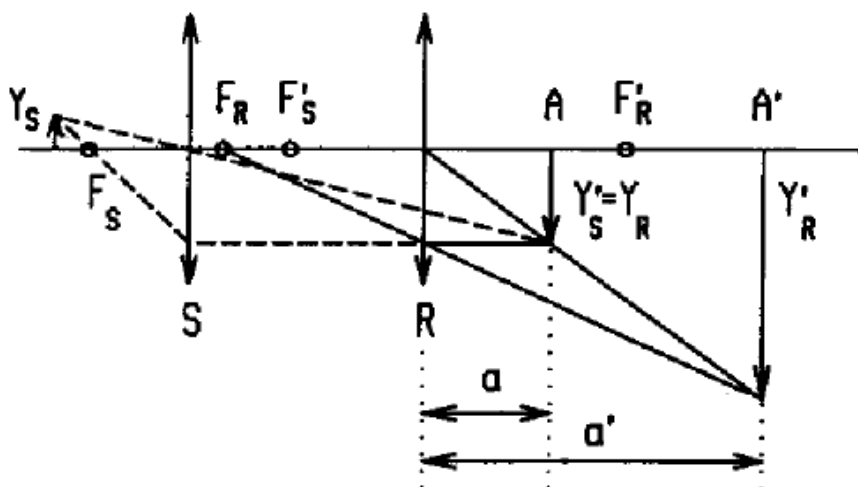
$$d^2 - \Delta^2 = 4a_1a_1' = 4a_2a_2'. \quad (41)$$

Dosadíme-li do vztahu (4) za čitatele aa' ze vztahu (10) a za jmenovatele d ze vztahu (8), dostaneme vztah pro určení ohniskové vzdálenosti

$$f' = \frac{d^2 - \Delta^2}{4d} \quad (42)$$

Stanovení ohniskové vzdálenosti tenké rozptylky

Rozptylky vytvářejí vždy neskutečný obraz skutečného předmětu. Proto je v tomto případě nutno postupovat tak, že k měřené rozptylce se přidá spojka tak, aby obraz vytvořený spojkou mohl být neskutečným předmětem pro rozptylku. Podle obr.4 umístíme na optickou lavici předmět y_s , a spojkou S vytvoříme reálný obraz y'_s v bodě A . Mezi tento obraz a spojkou umístíme rozptylku R a na stínítku zase nalezneme ostrý obraz y'_r v bodě A' .



Obrázek 23: Stanovení ohniskové vzdálenosti tenké rozptylky.

Obraz y'_s je vlastně předmětem y_r pro rozptylku. Známe-li polohu rozptylky R , polohu obrazu spojky A a polohu obrazu rozptylky A' , můžeme vypočítat

$$a = A - R \quad a' = A' - R \quad (43)$$

a pro výpočet ohniskové vzdálenosti rozptylky použít vztah (4).

Zpracování měření

V průběhu měření je vhodné opisovat z optické lavice přímo polohu jejích jednotlivých členů a tato data převést na optické parametry jako je předmětová vzdálenost a podobně teprve následně. Ze získaných optických parametrů statisticky vyhodnoťte třemi zadanými metodami ohniskovou vzdálenost měřené spojky, a výsledky mezi sebou porovnejte. V případě rozptylky měření rovněž statisticky zpracujte.

Úkoly

- Změřte opakovaně ohniskovou vzdálenost tenké spojky přímou metodou.
- Změřte opakovaně ohniskovou vzdálenost téže spojky ze zvětšení.
- Změřte opakovaně ohniskovou vzdálenost téže spojky Besselovou metodou.
- Změřte opakovaně ohniskovou vzdálenost rozptylky přímou metodou.

Literatura

- [1] Kučírková A., Navrátil K.: Fyzikální měření I., SPN Praha 1986

BOZF0221 Základy fyzikálně optických měření 1

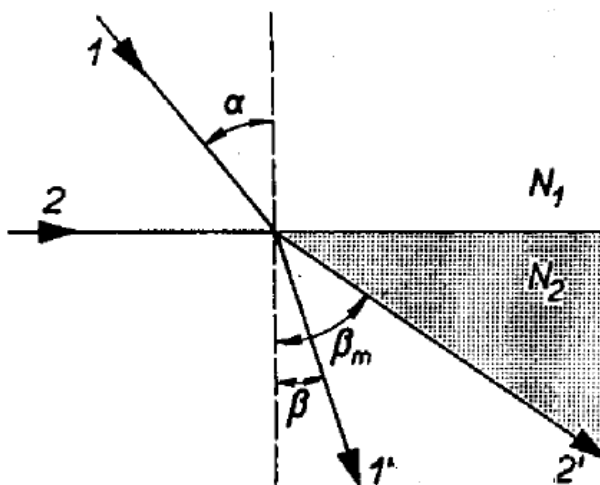
9. Měření indexu lomu látek refraktometrem

Cíle úlohy

- Kalibrace polokulového refraktometru, stanovení indexu lomu kapalinových vzorků
- Srovnávací stanovení indexu lomu těchto kapalinových vzorků dvouhranovým refraktometrem

Teorie

Index lomu pevných látek a kapalin lze snadno a s vysokou přesností zjistit měřením mezního úhlu při lomu resp. odrazu na rozhraní dvou prostředí. Máme-li dvě prostředí (viz obr. 1), charakterizovaná indexy lomu N_1 a N_2 ($N_1 < N_2$) a prochází-li světlo z prostředí o indexu lomu N_1 do prostředí charakterizovaného indexem lomu N_2 , nastává podle Snellova zákona [1] lom paprsků ke kolmici. V mezním případě, kdy je úhel dopadu roven 90 stupňům (obr.1, paprsek 2), se šíří světlo ve druhém prostředí pod největším úhlem β_m . Tedy do vyšrafované oblasti na obr.1 nemůže světlo z prvního prostředí lomem vnikat.



Obrázek 24: Kritický úhel.

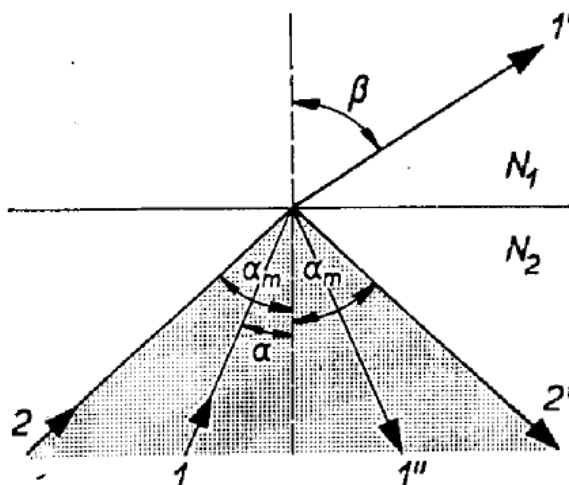
Potom pro β_m platí

$$\sin \beta_m = \frac{N_1}{N_2}. \quad (44)$$

Prochází-li naopak světlo z druhého prostředí do prvního, nastává lom od kolmice (obr. 2). Je-li úhel dopadu menší než α_m , pronikne část světla do prvního prostředí a část se odrazí. Je-li úhel dopadu větší než α_m , nastává totální odraz. Ve vyšrafované části na obr. 2 je tedy intenzita odraženého světla menší ve srovnání s částí nešrafovanou.

Pro úhel platí obdobně ze Snellova zákona

$$\sin \alpha_m = N_1/N_2 \quad (45)$$



Obrázek 25: Využití kritického úhlu.

Na principu měření mezního úhlu jsou konstruovány refraktometry, kterými lze měřit rychle a s malým množstvím měřené látky její index lomu.

Experimentální provedení

Abbeův polokulový refraktometr

Jeho princip je znázorněn na obr. 3 pro měření jak v prošlém, tak v odraženém světle. Měřicí polokoule K ze skla s vysokým indexem lomu N_2 je uložena na podstavci, který je otočný kolem svislé osy O . Proti oblé ploše polokoule je umístěn dalekohled D otočný kolem osy O . Jeho poloha se odečítá na úhломěrné stupnici (úhel β_m).

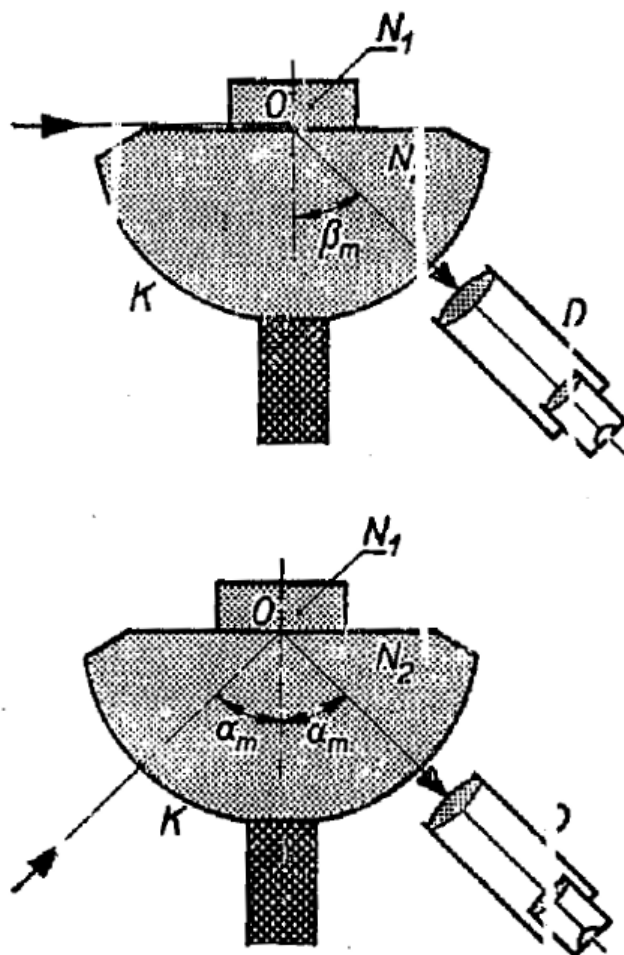
Vzorek zkoumané pevné látky se položí na vyleštěnou rovinnou plochu polokoule, která byla před tím navlhčena imerzní kapalinou (v našem případě 1-bromnaftalen, nebo hřebíčkový olej). Přístroj se ze strany osvětlí monochromatickým světlem a dalekohled se nastaví do takové polohy, aby rozhraní tmavého a světlého pole procházelo středem nitkového kříže. Na stupnici dalekohledu se odečte mezní úhel. Měření lze provádět v prošlém nebo odraženém světle. Index lomu kapalin se měří tak, že se na rovinnou část polokoule umístí skleněný prstenec, který se naplní troškou testované kapaliny. Není-li znám index lomu skla polokoule, změří se nejprve mezní úhel β_m , který odpovídá situaci, kdy je nad polokoulí vzduch. Pak se provede měření mezního úhlu je-li nad polokoulí měřená kapalina. Potom pro její index lomu platí

$$N_1 = \sin \beta_m / \sin \beta_{m0} \quad (46)$$

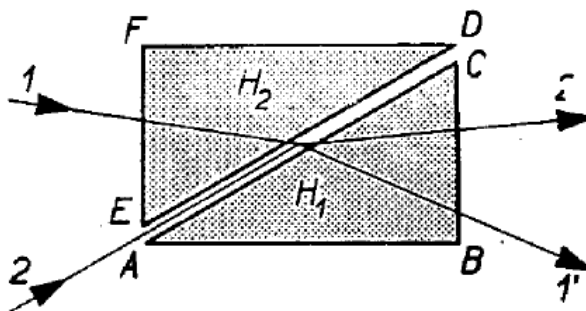
Dvouhranolový refraktometr

Základní částí přístroje jsou dva hranoly H_1 a H_2 , zhotovené ze skla s vysokým indexem lomu (obr. 4). Měřicí hranol H_1 má stěny AB a BC vyleštěny, strana AB je zmatovaná. Osvětlovací hranol H_2 má naopak zmatovanou stěnu ED .

Měřený objekt se umístí uje na plochu AC měřicího hranolu. Je-li měřen index lomu kapaliny, jsou oba hranoly k sobě přiklopeny a mezi ně se vpraví malé množství kapaliny. Chceme-li měřit index lomu pevné látky, musí mít vzorek alespoň jednu plochu rovinnou a dobře vyleštěnou. Vzorek přiložíme touto plochou na stěnu AC ,



Obrázek 26: Abbeuv refraktometr



Obrázek 27: Optický princip dvouhranolového refraktometru

na kterou je třeba před měřením nanést malé množství kapaliny s indexem lomu vyšším než má měřená látka (obvykle 1-bromnaftalem, $n = 1,658$).

Měření indexu lomu kapaliny lze provádět v procházejícím světle nebo ve světle odraženém. Při měření na průchod vstupuje světlo plochou EF do osvětlovacího hranolu, na ploše ED se rozptýlí a vchází do měřené látky. Po lomu vychází stěnou BC . Tato plocha je pozorována dalekohledem. Při měření v monochromatickém

světla je mezi oběma částmi zorného pole ostré rozhraní. Při měření na odraz vstupuje světlo plochou AB do hranolu H_1 a po odrazu opět vychází plochou BC .

Měření indexu lomu pevných látek lze provádět také buď v prošlém světle (chod paprsku 2) nebo ve světle odraženém (zde platí totéž co pro kapaliny). Je-li měření prováděno v bílém světle, je rozhraní v zorném poli dalekohledu zbarveno. Aby se tato obtíž odstranila, je dvojhranolový refraktometr vybaven kompenzátozem, což jsou dva Amiciovy hranoly. Činnost kompenzátozu spočívá v tom, že se do optické soustavy přístroje zařadí nový hranol, jehož disperze je až na znaménko rovna disperzi měřicí soustavy.

S měřícím hranolem je pevně spojena stupnice kalibrovaná v hodnotách indexu lomu. Odečítá se na ní pomocí lupy umístěné vedle okuláru dalekohledu. Měření na tomto přístroji lze provádět buď v monochromatickém světle a to pro vlnovou délku 589.3 nm nebo ve světle bílém. Z údajů na stupnici kompenzátozu a přiložené tabulky lze stanovit hodnotu střední disperze látky $n(486,1 \text{ nm}) - n(656,3 \text{ nm})$.

Postup měření

1. Na měřicí hranol nanést malé množství imerzní kapaliny.
2. Na kapku této kapaliny umístit vyleštěnou plochou měřený vzorek.
3. Šroubem na pravé straně přístroje otáčet hranolem tak dlouho, až se v zorném poli dalekohledu objeví rozhraní světlo-tma. Toto rozhraní otáčením šroubu nastavit do průsečíku nitkového kříže v zorném poli dalekohledu.
4. Na stupnici vpravo lupou odečíst hodnotu indexu lomu měřeného objektu.
5. Šroubem na levé straně přístroje se ovládá vzájemná poloha hranolů barevného kompenzátozu.

Zpracování měření

Kalibraci polokulového refraktometru proved'te nepřímo: zpracujte nejprve statisticky všechna měření na polokulovém refraktometru, a následně prověřte, zda průměrná hodnota zjištěného indexu lomu u kalibrovaného sklíčka odpovídá tabelované. Pokud ne, určete faktor, kterým je potřeba tuto průměrnou hodnotu přenásobit, aby se s tabelovanou shodla. Takto zjištěným faktorem přenásobte všechny průměrné hodnoty i odchylky určených indexů lomů. Získané zkalibrované hodnoty porovnejte s měřeními na dvouhranolovém refraktometru a tabulkovými hodnotami indexu lomu měřených kapalin.

Úkoly

- (a) Změřte opakovaně mezní úhel při pozorování polokulovým refraktometrem bez vložení vzorku.
- (b) Změřte opakovaně mezní úhel při pozorování dvou kapalinových vzorků polokulovým refraktometrem.
- (c) Změřte opakovaně mezní úhel při pozorování kalibrovaného sklíčka polokulovým refraktometrem.
- (d) Změřte index lomu stejných kapalinových vzorků dvouhranolovým refraktometrem.

Literatura

- [1] A.Kučírková, K.Navrátil, Fyzikální měření I, SPN Praha 1986.

BOZF0221 Základy fyzikálně optických měření 1

10. Průchod světla planparalelní deskou a hranolem

Cíle úlohy

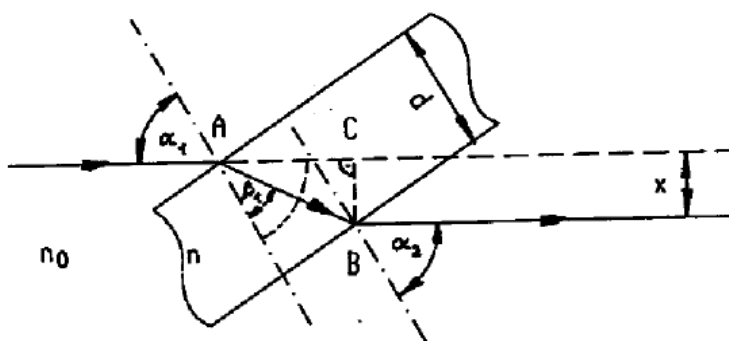
- Určení indexu lomu skleněné desky z měření stranové úchylky paprsku
- Určení indexu lomu skleněného hranolu z měření minimální deviace

Teorie

Při průchodu světla skleněnou planparalelní deskou dochází k posunu vystupujícího paprsku a vstupující a vystupující paprsky jsou rovnoběžné. Při průchodu světla hranolem dochází k úhlové odchylce vystupujícího a vstupujícího paprsku, tato odchylka je deviace a vstupující a vystupující paprsky jsou různoběžné. Je-li dopadající světlo bílé, dochází k jeho rozkladu na jednotlivé barevné složky. Tyto skutečnosti vyplývají ze zákona lomu a ze závislosti indexu lomu na vlnové délce. Uvedené jevy budeme posuzovat jednak kvalitativně, jednak odchylky paprsků a příslušné úhly změříme a porovnáme je s hodnotami vypočtenými ze zákona lomu. Z těchto měření můžeme určit index lomu skla hranolu nebo planparalelní desky.

Průchod paprsku planparalelní deskou

V této části odvodíme závislost posuvu z vystupujícího a vstupujícího paprsku na úhlu dopadu α , tloušťce desky d a indexu lomu skla n . Planparalelní deska je v prostředí s indexem lomu n_0 . Situace je znázorněna na obrázku:



Obrázek 28: Průchod světla planparalelní deskou

Protože obě rozhraní jsou rovnoběžná, je úhel dopadu α_1 na první rozhraní roven úhlu lomu α_2 na druhém rozhraní, $\alpha_1 = \alpha_2 = \alpha$, a úhel lomu β_1 na prvním rozhraní je roven úhlu dopadu β_2 na druhém rozhraní, $\beta_1 = \beta_2 = \beta$. Zákon lomu na prvním rozhraní je

$$n_0 \sin \alpha = n \sin \beta \quad (47)$$

a na druhém rozhraní

$$n \sin \beta = n_0 \sin \alpha$$

Délka dráhy paprsku AB v planparalelní desce je

$$|AB| = \frac{d}{\cos \beta}. \quad (48)$$

Odchylka x vstupujícího a vystupujícího paprsku je

$$x = |BC| = |AB| \sin(\alpha - \beta) \quad (49)$$

Úpravou a použitím vztahů

$$\cos \beta = \sqrt{1 - \sin^2 \beta} \quad \sin(\alpha - \beta) = \sin \alpha \cos \beta - \cos \alpha \sin \beta$$

Obdržíme z (1-3) vztah pro odchylku paprsků,

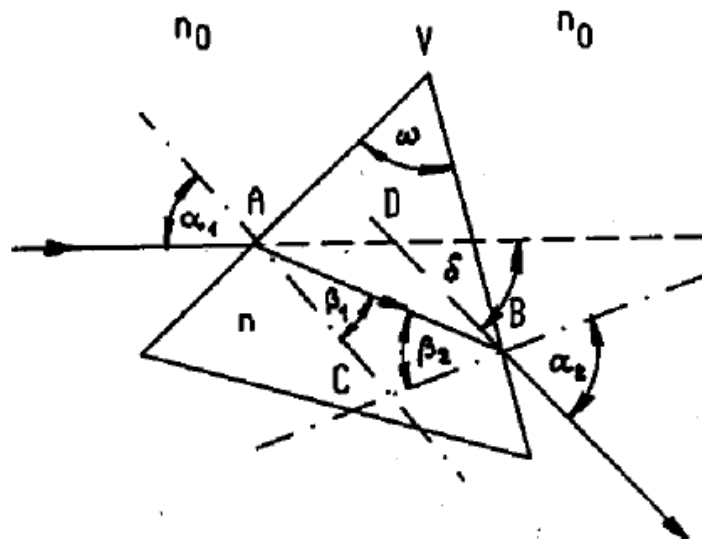
$$x = \left(1 - \frac{n_0 \cos \alpha}{\sqrt{n^2 - n_0^2 \sin^2 \alpha}} \right) d \sin \alpha \quad (50)$$

Z tohoto vztahu můžeme určit index lomu skla za předpokladu, že $\alpha \neq 0$:

$$n = n_0 \sqrt{\sin^2 \alpha + \left(1 - \frac{x}{d \sin \alpha} \right)^{-2} \cos^2 \alpha} \quad (51)$$

Průchod světla hranolem

V této části odvodíme závislost úhlové odchylky δ vystupujícího paprsku na úhlu dopadu $\alpha_1 = \alpha$, lámavého úhlu ω , který svírají stěny hranolu jimiž vstupují a vystupují paprsky a na indexu lomu skla n .



Obrázek 29: Průchod světla hranolem

Zákon lomu na prvním rozhraní je

$$n_0 \sin \alpha = n \sin \beta_1 \quad (52)$$

a na druhém rozhraní

$$n \sin \beta_2 = n_0 \sin \alpha_2 \quad (53)$$

Deviace δ je vnější úhel v trojúhelníku ABD při vrcholu D,

$$\delta = (\alpha - \beta_1) + (\alpha_2 - \beta_2) \quad (54)$$

Lámaný úhel ω je vnějším úhlem při vrcholu C v trojúhelníku ABC, neboť strana AC je kolmá k prvnímu rozhraní AV a strana AC je kolmá k druhému rozhraní BV:

$$\omega = \beta_1 + \beta_2. \quad (55)$$

Deviace δ je z (8) a (9) rovna $\delta = \alpha + \omega + \alpha_2$. Vyjádříme-li α_2 ze vztahů (7), (9) a (6), obdržíme závislost deviace na úhlu dopadu α ve tvaru

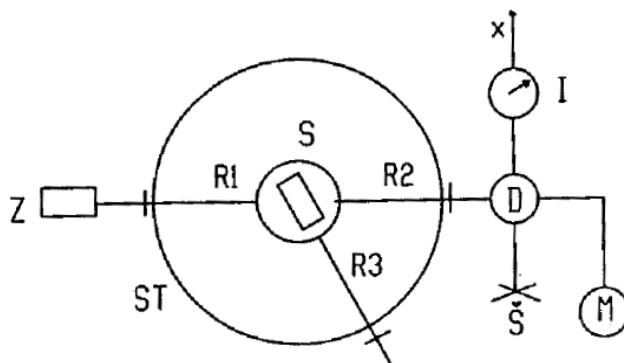
$$\delta = \alpha - \omega + \arcsin \left[\sin \omega \sqrt{\left(\frac{n}{n_0}\right)^2 - \sin^2 \alpha} - \cos \omega \sin \alpha \right] \quad (56)$$

Poznamenejme, že tato závislost má minimum δ_m pro takový úhel dopadu, kdy paprsky vstupující a vystupující leží symetricky vzhledem k rovině půlčí lámaný úhel hranolu. Tento případ se používá k měření indexu lomu metodou minimální deviace a je popsán v [1], na str.148 - vztah pro výpočet indexu lomu v bodě minimální deviace má tvar

$$n = \frac{\sin \left(\frac{\delta_m + \omega}{2} \right)}{\sin \frac{\omega}{2}}.$$

Experimentální provedení

Pro měření úhlu dopadu deviace a posuvu x použijeme goniometru, jehož schéma je na obrázku.



Obrázek 30: Uspořádání experimentu

Goniometr obsahuje kruhovou stupnici ST, po které se pohybují tři ramena: R1 se zdrojem, kterým je laserová dioda, R2 s detektorem tvořeným Si fotodiodou a R3 se stolečkem umístěným ve středu kruhu. Na stolek klademe zkoumanou planparalelní deskou nebo hranol. Detektorem lze posouvat šroubem Š ve směru x kolmo na rameno R2. Posuv se měří číselníkovým úchylkoměrem I. Úhel dopadu α určujeme z polohy ramen R1 a R3, úhel deviace δ z polohy ramen R1 a R2. Před měřením je třeba nastavit stolek S tak, aby paprsek dopadal kolmo na měřenou planparalelní deskou nebo hranol. Dosáhne se toho pomocí tří stavících šroubů pod stolečkem S. Kolmost dopadajícího paprsku na lámavou plochu poznáme podle chodu odraženého paprsku: oba paprsky musí mít totožnou dráhu – sledujeme stopu odraženého paprsku u výstupního otvoru zdroje Z.

Zpracování měření

Doporučuje se v laboratoři opisovat přímo polohy ramen, nastavené na goniometru, a optické parametry (úhel dopadu a podobně) dopočítávat až následně. Měření tloušťky planparalelní desky zpracujte statisticky, v dalším použijte pouze průměrnou hodnotu této tloušťky. Při měření planparalelní desky pro každou změřenou dvojici stranová úchylka - úhel dopadu stanovte index lomu desky a takto získané hodnoty zpracujte statisticky. Při měření hranolu vynesete do grafu závislost úhel deviace - úhel dopadu; z minima grafu určete hodnotu indexu lomu hranolu.

Úkoly

- (a) Změřte opakovaně tloušťku vybrané planparalelní desky pomocí posuvného měřítka nebo mikrometru.
- (b) Proveďte justaci přístroje a určete závislost posuvu vystupujícího paprsku z planparalelní desky na úhlu dopadu.
- (c) Proveďte justaci hranolu a naměřte závislost deviace δ na úhlu dopadu α .

POZOR! ZÁŘENÍ LASERU JE NEBEZPEČNÉ PRO OKO!!

Literatura

- [1] Kučírková A., Navrátil K.: Fyzikální měření I., SPN Praha 1986